arXiv:1005.0462v1 [math.AG] 4 May 2010

Etude locale des torseurs sous une courbe elliptique

Jilong Tong

Abstract

This article concerns the geometry of torsors under an elliptic curve. Let $\mathcal{O}_K$ be a complete discrete valuation ring with algebraically closed residue field and function field K. Let π be a generator of the maximal ideal of $\mathcal{O}_K$, and $S = \mathrm{Spec}(\mathcal{O}_K)$. Suppose that we are given J_K an elliptic curve over K, with J the connected component of the S-Néron model of J_K. Given X_K/K a torsor of order d under J_K, let X be the S-minimal regular proper model. Then there is an invertible idéal $\mathcal{I} \subset \mathcal{O}_K$ such that $\mathcal{I}^d = \pi\mathcal{O}_X \subset \mathcal{O}_X$. Moreover, there exists a canonical morphism $q : \mathrm{Pic}^\circ_{X/S} \to J$ which induces a surjective map $q(S) : \mathrm{Pic}^\circ(X) \to J(S)$. The purpose of the article is to prove this last morphism $q(S)$ is compatible with respect to the $\mathcal{I}$-adic filtration on $\mathrm{Pic}^\circ(X)$, and the π-adic filtration on $J(S)$. As a byproduct, we obtain "Herbrand functions", similar to those Serre used in his description of local class fields ([12]).

Introduction

Soit $\mathcal{O}_K$ un anneau de valuation discrète complet, à corps résiduel k algébriquement clos de caractéristique $p > 0$, à corps des fractions K, et soit $\pi \in \mathcal{O}_K$ une uniformisante de $\mathcal{O}_K$. Notons $S = \mathrm{Spec}(\mathcal{O}_K)$, avec s le point fermé. Soit J_K une courbe elliptique sur K, et soit $\mathcal{N}$ son S-modèle de Néron, $J = \mathcal{N}^\circ$ sa composante neutre. Donnons-nous par ailleurs un torseur X_K sous J_K d'ordre d, et soit X le S-modèle propre minimal régulier de X_K. En général, X n'est pas cohomologiquement plat (en degré 0) sur S (*i.e.*, le morphisme canonique $k \to \mathrm{H}^0(X_s, \mathcal{O}_s)$ n'est pas un isomorphisme), en particulier, son foncteur de Picard $\mathrm{Pic}^\circ_{X/S}$ n'est pas représentable, même par un espace algébrique. On montre dans [10] qu'il existe un épimorphisme (pour la topologie fppf) de foncteurs en groupes naturel $q : \mathrm{Pic}^\circ_{X/S} \to J$ qui prolonge l'isomorphisme de bidualité sur la fibre générique. De plus, le pgcd des multiplicités des composantes irréductibles de X_s est d (2.1.2), il existe donc un faisceau inversible d'idéaux $\mathcal{I}$ de $\mathcal{O}_X$ tel que $\mathcal{I}^d = \pi\mathcal{O}_X \subset \mathcal{O}_X$. Le but de cet article est d'étudier les faisceaux inversibles sur X en relation avec la filtration $\mathcal{I}$-adique, et ensuite de montrer que le morphisme q ci-dessus est compatible avec la filtration $\mathcal{I}$-adique sur $\mathrm{Pic}^\circ_{X/S}(S)$, et la filtration π-adique sur $J(S)$. Tout ceci se dit agréablement sur les réalisations de Greenberg de $\mathrm{Pic}^\circ_{X/S}$ et J. Cette étude conduit aussi à des fonctions de Herbrand, analogues à celles rencontrées par Serre ([12]) dans la description du corps de classes local.

1. Rappels sur le foncteur de Picard et le foncteur de Greenberg.

On rassemble ici des résultats bien connus concernant le foncteur de Picard. De manière générale, pour X un schéma, on note $(\mathbf{Sch}/X)$ la catégorie des X-schémas.

1.1 Rappels sur le foncteur de Picard.

2000 Mathematics Subject Classification 14H99.
Keywords: torseur sous une courbe elliptique, fonctions de Herbrand, foncteur de Picard, réalisation de Greenberg

1.1.1 Soit $f : X \to S$ un morphisme propre, notons

$$\mathrm{Pic}_{X/S} : (\mathbf{Sch}/S) \to \mathfrak{Ab}$$

le foncteur de Picard de X/S, c'est-à-dire, le faisceau fppf associé au préfaiseau $S' \mapsto \mathrm{Pic}(X \times_S S')$. C'est aussi le faisceau étale associé au préfaisceau $S' \mapsto \mathrm{Pic}(X \times_S S')$ ([10] 1.2).

1.1.2 Supposons jusqu'à la fin de la section §1.1 que f est propre et plat. En général, le foncteur $\mathrm{Pic}_{X/S}$ n'est pas représentable (même par un espace algébrique), et il est représentable par un S-espace algébrique si et seulement si X/S est *cohomologiquement plat (en degré* 0*)*, i.e., si la formation de $f_*\mathcal{O}_X$ commute aux changements de base quelconques $S' \to S$. Bien que le foncteur $\mathrm{Pic}_{X/S}$ n'est pas représentable, il possède une jolie présentation par des S-espaces algébriques. Pour cela, il nous faut d'abord rappeler la notion de rigidificateur.

Définition 1.1.3 ([1] 8.1/5) *Soit $i : Y \hookrightarrow X$ un S-sous schéma fermé avec Y fini plat sur S. On dit que (Y, i) est un* rigidificateur *de $\mathrm{Pic}_{X/S}$ si la condition suivante est remplie : pour tout S-schéma S', si $i' : Y' \to X'$ désigne le morphisme déduit de i par le changement de base $S' \to S$, l'application*

$$\Gamma(i') : \Gamma(X', \mathcal{O}_{X'}) \to \Gamma(Y', \mathcal{O}_{Y'})$$

est injective.

1.1.4 Sous l'hypothèse de 1.1.1 et de 1.1.2, le faisceau $\mathrm{Pic}_{X/S}$ possède toujours un rigidificateur ([10] proposition 2.2.3 (c)). Supposons donné (Y, i) un rigidificateur de $\mathrm{Pic}_{X/S}$, et pour tout S-schéma S', on appelle un *faisceau inversible sur $X' = X \times_S S'$, rigidifié le long du rigidificateur Y'*, un couple $(\mathcal{L}, \alpha)$, où $\mathcal{L}$ est un faiscau inversible sur X', et $\alpha : \mathcal{O}_{Y'} \simeq i'^*\mathcal{L}$ est un isomorphisme (autrement dit, α est une trivialisation de $i'^*\mathcal{L}$). Un isomorphisme entre deux faisceaux inversibles rigidifiés $(\mathcal{L}, \alpha)$ et $(\mathcal{M}, \beta)$ sur X' est la donnée d'un isomorphisme de $\mathcal{O}_{X'}$-modules $u : \mathcal{L} \to \mathcal{M}$ tel que le diagramme suivant soit commutatif :

$$\begin{tikzcd} i'^*\mathcal{L} \arrow[rr, "i'^*u"] & & i'^*\mathcal{M} \\ & \mathcal{O}_{Y'} \arrow[ul, "\alpha"] \arrow[ur, "\beta"'] & \end{tikzcd} .$$

1.1.5 On note $(\mathrm{Pic}_{X/S}, Y)(S')$ l'ensemble des classes d'isomorphisme de faisceaux inversibles sur X', rigidifiés le long de Y'. Pour S' variable dans la catégorie des S-schémas $\mathbf{Sch}/S$, l'application $S' \mapsto (\mathrm{Pic}_{X/S}, Y)(S')$ définit un foncteur en groupes commutatifs $(\mathrm{Pic}_{X/S}, Y)$, appelé le *le foncteur de Picard de X/S relatif au rigidificateur Y*. Concernant la représentabilité de $(\mathrm{Pic}_{X/S}, Y)$, on a

Théorème 1.1.6 ([10] théorème 2.3.1 et corollaire 2.3.2) *Le foncteur $(\mathrm{Pic}_{X/S}, Y)$ est représentable par un S-espace algébrique en groupes, localement de présentation finie sur S. De plus, si X/S est une courbe, le S-espace algébrique $(\mathrm{Pic}_{X/S}, Y)$ est lisse sur S.*

1.1.7 On a un morphisme de faisceaux en groupes $r : (\mathrm{Pic}_{X/S}, Y) \to \mathrm{Pic}_{X/S}$, qui au couple $(\mathcal{L}, \alpha)$ associe l'image de $\mathcal{L}$ dans $\mathrm{Pic}_{X/S}(S')$. Étale localement, tout élément de $\mathrm{Pic}_{X/S}(S')$ peut être représenté par un faiseau inversible sur X' (1.1.1), le morphisme r est donc un épimorphisme pour la topologie étale. Pour étudier son noyau, notons V_X^* (resp. V_Y^*) le faisceau abélien fppf sur $(\mathbf{Sch}/S)$, donné par $S' \mapsto \Gamma(X', \mathcal{O}_{X'})^*$ (resp. $S' \mapsto \Gamma(Y', \mathcal{O}_{Y'})^*$). Par définition de rigidificateur (1.1.3), le morphisme naturel $V_X^* \to V_Y^*$ est injectif. Posons u le morphisme défini de la façon suivante (pour S' un S-schéma) :

$$u : V_Y^* \to (\mathrm{Pic}_{X/S}, Y), \qquad a \in V_Y^*(S') = \Gamma(Y_{S'}, \mathcal{O}_{Y_{S'}}^*) \mapsto (\mathcal{O}_{X_{S'}}, \alpha_a) \in (\mathrm{Pic}_{X/S}, Y)(S')$$

où $\alpha_a : \mathcal{O}_{Y_{S'}} \to \mathcal{O}_{Y_{S'}} = \mathcal{O}_{X_{S'}|_{Y_{S'}}}$ est la multiplication par a. Clairement, $\mathrm{im}(u) \subset \ker(r)$. On obtient ainsi un complexe de faisceux fppf sur S :

$$0 \longrightarrow V_X^* \longrightarrow V_Y^* \xrightarrow{u} \left(\mathrm{Pic}_{X/S}, Y\right) \xrightarrow{r} \mathrm{Pic}_{X/S} \longrightarrow 0\ ,$$

qui est exact pour la topologie étale ([10] 2.1.2(b) et 2.4.1). De plus, le morphisme r est formellement lisse au sens de Grothendieck ([4] EGA IV, 17.1.1). Rappelons que les deux premiers membres du complexe ci-dessus sont représentables par S-schémas, et le schéma X/S est cohomologiquement plat (en degré 0) si et seulement si V_X^* est un S-schéma plat, et en fait lisse.

1.2 Modèle de Néron et foncteurs de Picard.

1.2.1 Soit $f : X \to S$ une courbe propre et plate (à fibres géométriques connexes). Notons P (resp. (P, R)) le sous-foncteur (ouvert) de $\mathrm{Pic}_{X/S}$ (resp. $(\mathrm{Pic}_{X/S}, R)$) consistant en les faisceaux inversibles de degré total 0 (resp. les faisceaux inversibles rigidifiés le long R de degré total 0). Alors, (P, R) est un sous-espace algébrique ouvert de $(\mathrm{Pic}_{X/S}, R)$, et P (resp. (P, R)) est l'adhérence schématique de $\left(\mathrm{Pic}_{X/S}\right)^\circ_K$ (resp. $(\mathrm{Pic}_{X/S}, R)^\circ_K$) dans $\mathrm{Pic}_{X/S}$ (resp. dans $(\mathrm{Pic}_{X/S}, R)$). Notons E l'adhérence schématique de l'élément neutre de P_K dans P, et définissons $\mathcal{Q}$ comme le quotient fppf de P par E. C'est le plus grand quotient séparé de P. Il est représentable par un schéma en groupes séparé et lisse sur S ([10] théorème 3.3.1). On désigne par q le morphisme canonique $\mathrm{P} \to \mathcal{Q}$, qui est donc surjectif pour la topologie fppf.

Théorème 1.2.2 ([7] 3.7) *Gardons les notations ci-dessus, et supposons de plus X régulier, et $f_*\mathcal{O}_X = \mathcal{O}_S$. Alors, le schéma en groups $\mathcal{Q}/S$ est le modèle de Néron de $\mathrm{P}_K = \mathrm{Pic}^\circ_{X_K/K}$.*

1.2.3 Notons $J = \mathcal{Q}^\circ$ la composante neutre de $\mathcal{Q}$. Comme $\mathcal{O}_K$ est complet à corps résiduel algébriquement clos, d'après un résultat de S. Lang (théorème 1.1, [3]), le groupe de Brauer de K est nul. Il en résulte que tout élément de $\mathrm{Pic}_{X/S}(K)$ peut se représenter par un faisceau inversible sur X_K. Par suite, le morphisme naturel $q(S) : \mathrm{Pic}^\circ_{X/S}(S) \to J(S)$ est surjectif (9.6 de [1]).

1.3 Foncteur de Greenberg et foncteur de Picard

1.3.1 Soit G un schéma en groupes lisse de type fini sur S. Les foncteurs de Greenberg nous permet de construire un k-groupe pro-algébrique (:= un pro-objet dans la catégorie des k-groupes algébriques). Rappelons d'abord brièvement cette construction. Notons W l'anneau de Witt du corps k, et $\mathbf{W}$ le foncteur de Witt sur la catégorie des k-algèbres $\mathbf{Alg}/k$. Soit $n \in \mathbf{Z}_{\geq 1}$, notons $\mathcal{O}_{K,n} = \mathcal{O}_K/\pi^n$. Alors $\mathcal{O}_{K,n}$ est canoniquement un W-module de longueur finie. On définit $\mathrm{Gr}_n(G)$ comme le faisceau fpqc sur $\mathbf{Alg}/k$ associé au foncteur $A \mapsto G(\mathcal{O}_{K,n} \otimes_W \mathbf{W}(A))$. D'après Greenberg ([2]), ce faisceau est représentable par un k-schéma en groupes lisse de type fini. Pour chaque entier $n \geq 1$, le morphisme canonique d'anneaux $\mathcal{O}_{K,n+1} \to \mathcal{O}_{K,n}$ induit un morphisme lisse de k-schémas en groupes $\alpha_n : \mathrm{Gr}_{n+1}(G) \to \mathrm{Gr}_n(G)$, dont le noyau est un groupe unipotent connexe sur k. De plus, le morphisme de groupes canonique $G(\mathcal{O}_{K,n}) \to \mathrm{Gr}_n(G)(k)$ est un isomorphisme. Sous cette identification, le morphisme $\alpha(k) : \mathrm{Gr}_{n+1}(G)(k) \to \mathrm{Gr}_n(G)(k)$ s'identifie naturellement au morphisme canonique $G(\mathcal{O}_{K,n+1}) \to G(\mathcal{O}_{K,n})$. Les k-groupes algébriques $\mathrm{Gr}_n(G)$ forment un système projectif $\{(\mathrm{Gr}_n(G), \alpha_n)\}_{n\geq 1}$ de la catégorie des k-groupes algébriques, dont les morphismes de transition sont tous lisses à noyau connexe.

1.3.2 Soit $f : X \to S$ une courbe propre, telle que $f(X) = \{s\}$. Alors si $X \neq \emptyset$, X/S n'est jamais plat, et les foncteurs de Picard $\mathrm{Pic}_{X/S}$ et $\mathrm{Pic}^\circ_{X/S}$ (:= le sous-foncteur ouvert de $\mathrm{Pic}_{X/S}$ formé des faisceaux inversibles de degré 0 sur chaque composante irréductible de X) ne sont pas représentables. Néanmoins, comme l'a montré Lipman ([6]), la réalisation de Greenberg de $\mathrm{Pic}_{X/S}$

(resp. de $\mathrm{Pic}^{\circ}_{X/S}$) est représentable par un k-schéma en groupes lisse. Plus précisément, comme $\mathcal{O}_K$ est naturellement une $W = W(k)$-algèbre, on trouve que X possède une structure de W-schéma propre. On pose $\mathrm{Gr}(\mathrm{Pic}_{X/S})$ (resp. $\mathrm{Gr}(\mathrm{Pic}^{\circ}_{X/S})$) le faisceau fpqc associé au foncteur

$$\mathbf{Alg}/k \to \mathfrak{Ab}, \qquad A \mapsto \mathrm{Pic}(X \otimes_W W(A)) \quad (\textit{resp.}\ \ A \mapsto \mathrm{Pic}^{\circ}(X \otimes_W W(A))).$$

Théorème 1.3.3 ([6]) *Le foncteur* $\mathrm{Gr}(\mathrm{Pic}_{X/S})$ *(resp.* $\mathrm{Gr}(\mathrm{Pic}^{\circ}_{X/S})$*) est représentable par un schéma en groupes lisse sur k (resp. par un schéma en groupes lisse connexe sur k), qui est de dimension la longueur du* W*-module* $\mathrm{H}^1(X, \mathcal{O}_X)$*. De plus, le morphisme canonique*

$$\mathrm{Pic}(X) \to \mathrm{Gr}(\mathrm{Pic}_{X/S})(k), \qquad (\textit{resp.}\ \ \mathrm{Pic}^{\circ}(X) \to \mathrm{Gr}(\mathrm{Pic}^{\circ}_{X/S})(k))$$

est un isomorphisme.

2. Fonctions de Herbrand

Gardons les notations précédentes. Soit $f : X \to S$ une S-courbe propre plate, telle que les conditions suivantes soient remplies : (i) $f_*(\mathcal{O}_X) = \mathcal{O}_S$; (ii) X_K est une courbe géométriquement intègre *lisse* de genre arithmétique 1 (*i.e.* $h^1(X_K, \mathcal{O}_{X_K}) = 1$) ; (iii) X est une surface régulière minimale sur S. En particulier, X_K est un torseur sous sa jacobienne J_K. Soit $X_s = \sum_{i=1}^r n_i C_i$ la décomposition de X_s en composantes irréductibles réduites, et notons d le pgcd des n_i. On désigne par D le diviseur

$$\frac{1}{d} X_s = \sum_{i=1}^{r} \frac{n_i}{d} \cdot C_i,$$

et notons $\mathcal{I}$ l'idéal $\mathcal{O}_X(-D)$. La fibre spéciale X_k est donc définie par $\mathcal{I}^d = \pi\mathcal{O}_X \subset \mathcal{O}_X$. Pour tout $n \in \mathbf{Z}_{\geq 1}$, on note X_n le sous-schéma fermé de X défini par l'idéal $\mathcal{I}^n \subset \mathcal{O}_X$. Le but de ce numéro est d'étudier la variation de $n \mapsto h^1(X, \mathrm{O}_{X_n})$ (:= la longueur de $\mathcal{O}_K$-module $\mathrm{H}^1(X, \mathcal{O}_{X_n})$).[1]

2.1 Etude du faisceau dualisant

2.1.1 Commençons par un résultat classique.

Lemme 2.1.2 *Notons* d_1 *l'ordre du torseur* X_K *dans* $\mathrm{H}^1(\mathrm{Spec}(K), J_K)$*,* d_2 *le minimum des degrés des extensions* K' *de* K *telles que* $X(K') \neq \emptyset$*, et* d_3 *le minimum des multiplicités des composantes irréductibles de* X_s*. Alors* $d_1 = d_2 = d_3 = d$*.*

Démonstration. Pour $n \in \mathbf{Z}_{>0}$ un entier positif, le torseur $n \cdot X_K$ est isomorphe à la composante irréductible $\mathrm{Pic}^n_{X/S}$ de $\mathrm{Pic}_{X_K/K}$ formée des faisceaux inversibles de degré n. Par suite, le torseur $n \cdot X_K$ est trivial si et seulement si $\mathrm{Pic}^n_{X/K}(K) \neq \emptyset$. Or $\mathcal{O}_K$ est strictement hensélien à corps résiduel algébriquement clos, on a $\mathrm{Br}(K) = 0$ (1.2.3). Par suite, $\mathrm{Pic}^{d_2}_{X/K}(K) = \mathrm{Pic}^{d_2}(X) \neq \emptyset$. Soit $\Sigma_K \subset X_K$ un diviseur de degré d_2, et notons Σ son adhérence schématique dans X. Alors $d_2 = \Sigma \cdot X_s = d \cdot \Sigma \cdot D$ est divisible par d. Clairement, on a $d_1 | d_2$. Par ailleurs, comme $\mathcal{O}_K$ est strictement hensélien, pour chaque i, on peut trouver un diviseur positif (de Cartier relatif) Δ_i de X/S de degré n_i ([1]). Une combinaison convenable nous fournit un diviseur Δ' de degré d de X_K. Or X_K est une courbe de genre 1, et $d \geq 1$, on en déduit que $h^0(X_K, \mathcal{O}_{X_K}(\Delta'_K)) > 0$. Il existe donc un diviseur positif Δ_K de degré d de X_K linéairement équivalent à Δ'_K. Par suite Δ_K est intègre, *i.e.*, $\Delta_K = \{x\}$ avec $x \in X_K$ un point fermé de degré d. D'où $d_2 \leq d$, et on a donc $d = d_1 = d_2$. Soit maintenant $x \in X_K$ un point fermé de degré d, notons $\Delta = \overline{\{x\}}$ l'adhérence schématique de $\{x\}$ dans X. Alors $\Delta \cdot X_s = d(\Delta \cdot D) = d$. Donc $\Delta \cap D = \{y\}$, et D est régulier en y. Notons D_i la composante

1. Une partie de résultats de cette section a été rédigée dans [5].

irréductible de D telle que $y \in D$, alors D est de multiplicité d dans X_s, d'où $d = d_3$. Ceci termine la démonstration. $\square$

Remarque 2.1.3 Soit $Y \subset X$ un diviseur effectif plat de degré d sur S (dont l'existence est assurée par 2.1.2). Notons que Y est nécessairement intègre régulier, et coupe transversalement une unique composante C_i, de multiplicité 1 dans D. Alors $Y \hookrightarrow X$ est un rigidificateur pour le foncteur de Picard $\mathrm{Pic}_{X/S}$. En fait, d'après 2.2.2 de [10], il suffit de vérifier l'injectivité du morphisme canonique $\mathrm{H}^0(X_s, \mathcal{O}_{X_s}) \to \mathrm{H}^0(Y_s, \mathcal{O}_{Y_s})$. Montrons par récurrence sur n que le morphisme canonique $\mathrm{H}^0(X_n, \mathcal{O}_{X_n}) \to \mathrm{H}^0(Y_n, \mathcal{O}_{Y_n})$ est injectif (où $Y_n := Y \cap X_n$). Commençons par le cas où $n = 1$: d'après 2.1.10 ci-après, on sait que $\mathrm{H}^0(X_1, \mathcal{O}_{X_1}) = k$. Soit $\varepsilon \in \mathrm{H}^0(X_1, \mathcal{O}_{X_1})$, alors ε est une fonction globale de X_1 qui est constante. Par conséquent, l'image de ε dans $\mathrm{H}^0(Y_1, \mathcal{O}_{Y_1})$ est nulle si et seulement si $\varepsilon = 0$, autrement dit, le morphisme $\mathrm{H}^0(X_1, \mathcal{O}_{X_1}) \to \mathrm{H}^0(Y_1, \mathcal{O}_{Y_1})$ est injectif. Supposons ensuite l'assertion ci-dessus vérifiée pour $n = n_0 \geq 1$. Partons du diagramme commutatif à lignes exactes suivant :

$$\begin{tikzcd}
0 \arrow[r] & \mathcal{I}^{n_0}|_{X_1} \arrow[r] \arrow[d] & \mathcal{O}_{X_{n_0+1}} \arrow[r] \arrow[d] & \mathcal{O}_{X_{n_0}} \arrow[r] \arrow[d] & 0 \,. \\
0 \arrow[r] & \mathcal{I}^{n_0}|_{Y_1} \arrow[r] & \mathcal{O}_{Y_{n_0+1}} \arrow[r] & \mathcal{O}_{Y_{n_0}} \arrow[r] & 0
\end{tikzcd}$$

On voit qu'il suffit de vérifier l'injectivité du morphisme $\mathrm{H}^0(X_1, \mathcal{I}^{n_0}|_{X_1}) \to \mathrm{H}^0(Y_1, \mathcal{I}^{n_0}|_{Y_1})$. En vertu du lemme 2.1.10, on peut supposer $\mathcal{I}^{n_0}|_{X_1} \simeq \mathcal{O}_{X_1}$, auquel cas on peut identifier le morphisme de gauche au morphisme canonique $\mathrm{H}^0(X_1, \mathcal{O}_{X_1}) \to \mathrm{H}^1(Y_1, \mathcal{O}_{Y_1})$ qui est injectif d'après ce qui précède. D'où l'assertion.

2.1.4 On note $\omega_{X/S} = f^!\mathcal{O}_S$ le faisceau dualisant relatif sur X/S. Pour tout $n \geq 0$, notons ω_n le faisceau dualisant sur X_n. Donc $\omega_n = \big(\mathcal{O}_X(nD) \otimes \omega_{X/S}\big)\,|_{X_n}$.

Lemme 2.1.5 *Pour tout $i = 1, \cdots, r$, on a $\omega_{X/S} \cdot C_i = 0$.*

Démonstration. Comme $\omega_{X/S}|_{X_\eta} \simeq \mathcal{O}_{X_\eta}$, on a $\omega_{X/S} \cdot X_s = 0$, *i.e.*, $\sum_{i=1}^r n_i \left(\omega_{X/S} \cdot C_i\right) = 0$. En particulier, si $r = 1$, le lemme en résulte. Supposons $r \geq 2$, puisque $C_i \cdot X_k = 0$, on obtient que $C_i \cdot C_i < 0$. Si $\omega_{X/S} \cdot C_i < 0$, puisque $2g(C_i) - 2 = (\omega_{X/S} + C_i) \cdot C_i \geq -2$, on a donc $g(C_i) = 0$, $C_i \cdot C_i = -1$. Ceci contredit le fait que X/S est une surface régulière minimale. Donc $(\omega_{X/S} \cdot C_i) \geq 0$, il en résulte que $\omega_{X/S} \cdot C_i = 0$ pour tout i. $\square$

Corollaire 2.1.6 *Il existe un unique entier n, $0 \leq n < d$, tel que $\omega_{X/C} \simeq \mathcal{I}^n$.*

Démonstration. Puisque $\omega_{X/S}|_{X_\eta} \simeq \mathcal{O}_{X_\eta}$, $\omega_{X/S} \simeq \mathcal{O}_X(Y)$, avec Y un diviseur de X à support dans X_k. Par suite, Y est une combinaison des C_i. Or d'après le lemme précédent, $Y \cdot C_i = 0$, on obtient $Y \cdot Y = 0$, par suite, Y est un multiple rationnel de X_k, c'est-à-dire, Y est linéairement équivalent à nD avec $0 \leq n < d$. Le corollaire s'en déduit. $\square$

Corollaire 2.1.7 *Supposons que f possède une section s, définie par le faiceau d'idéaux $\mathcal{J}$, et soit $\omega = \mathcal{J}/\mathcal{J}^2$, on a un isomorphisme canonique $\omega_{X/C} \simeq f^*\omega$.*

Démonstration. Par l'hypothèse, le torseur X_K possède un point rationnel, il est donc trivial en tant que torseur sous J_K. En vertu du lemme 2.1.2, on a donc $d = 1$. Par conséquent, $\omega_{X/C} \simeq \mathcal{O}_X$ (corollaire 2.1.6), et le morphisme canonique $f^*f_*\omega_{X/C} \to \omega_{X/C}$ est un isomorphisme. Par ailleurs, on a des isomorphismes canoniques : $\mathcal{O}_S \simeq (fs)^!\mathcal{O}_S \simeq s^!(\omega_{X/S})[-1] \simeq s^*\omega_{X/S} \otimes \omega^\vee$. Donc $\omega \simeq s^*\omega_{X/S} \simeq s^*f^*f_*\omega_{X/S} \simeq f_*\omega_{X/S}$, d'où l'isomorphisme canonique $f^*\omega \simeq f^*f_*(\omega_{X/S}) \simeq \omega_{X/S}$. $\square$

2.1.8 Dans le cas général où f n'a pas nécessairement de section, on peut considérer le S-modèle propre régulier minimal $f' : X' \to S$ de $X'_K = \mathrm{Pic}^{\circ}_{X_K/K}$. Par suite, f' possède une section canonique e (= l'adhérence schématique de l'élément neutre de $X'_K = J_K$ dans X'). Son faisceau dualisant est $f'^*\omega$ (avec ω défini par la section e de X'/S, voir 2.1.7). On peut retrouver $\omega_{X/S}$, à partir du faisceau ω, en utilisant certains invariants numériques de X/S. On renvoie à la section 2.2 pour plus de détails.

2.1.9 Le lemme suivant est très utile dans la suite. On trouvera une preuve dans [8].

Lemme 2.1.10 ([8], page 332) *Soit L un faisceau inversible sur X_1, de degré 0 sur chaque composante. Alors, si $\mathrm{H}^0(X_1, L) \neq 0$, on a $L \simeq \mathcal{O}_{X_1}$, et $\mathrm{H}^0(X_1, \mathcal{O}_{X_1}) \simeq k$.*

2.1.11 Soient $n \geq 2$ un entier, et L un faisceau inversible sur X, de degré 0 sur chaque composante de X_1. Considérons la suite exacte suivante :

$$0 \to \mathcal{O}_X(-D)|_{(n-1)D} \to \mathcal{O}_{nD} \to \mathcal{O}_D \to 0, \tag{1}$$

en tensorisant par $L^\vee \otimes \omega_{X/S}(nD)$, on obtient une suite exacte :

$$0 \to L^\vee \otimes \omega_{n-1} \to L^\vee \otimes \omega_n \to L^\vee \otimes \omega_n|_D \to 0.$$

D'où une suite exacte

$$0 \to \mathrm{H}^0(X_{n-1}, L^\vee \otimes \omega_{n-1}) \to \mathrm{H}^0(X_n, L^\vee \otimes \omega_n) \to \mathrm{H}^0(X_1, L^\vee \otimes \omega_n|_D). \tag{2}$$

Par conséquent, on a

$$h^0(X_{n-1}, L^\vee \otimes \omega_{n-1}) \leq h^0(X_n, L^\vee \otimes \omega_n) \leq h^0(X_{n-1}, L^\vee \otimes \omega_{n-1}) + 1.$$

Lemme 2.1.12 *Gardons les notations ci-dessus. Alors, ou bien $\omega_n \simeq L|_{X_n}$, auquel cas $\mathrm{H}^0(X_1, L^\vee \otimes \omega_n|_D) \simeq k$ et le complexe (2) est exact à droite ; ou bien $\omega_n \not\simeq L|_{X_n}$, auquel cas le morphisme canonique*

$$\mathrm{H}^0(X_{n-1}, L^\vee \otimes \omega_{n-1}) \xrightarrow{\simeq} \mathrm{H}^0(X_n, L^\vee \otimes \omega_n)$$

est bijectif.

Démonstration. Supposons d'abord $\omega_n \simeq L|_{X_n}$. Alors la suite exacte (2) se réécrit sous la forme suivante :

$$0 \to \mathrm{H}^0(X_{n-1}, \mathcal{O}_X(-D)|_{(n-1)D}) \to \mathrm{H}^0(X_n, \mathcal{O}_{X_n}) \to \mathrm{H}^0(X_1, \mathcal{O}_{X_1}), \tag{3}$$

qui est aussi la suite exacte longue déduite de la suite exacte courte (1). D'après le lemme 2.1.10, on a $\mathrm{H}^0(X_1, \mathcal{O}_{X_1}) \simeq k$, i.e., les fonctions globales de X_1 sont les fonctions constantes sur X_1. Donc tout élément de $\mathrm{H}^0(X_1, \mathcal{O}_{X_1})$ peut se relever en un élément de $\mathrm{H}^0(X_n, \mathcal{O}_{X_n})$. Par conséquent, le complexe (3) (et donc le complexe (2)) est exact à droite, d'où la première assertion. Ensuite, supposons $\omega_n \not\simeq L|_{X_n}$, auquel cas, même si $(\omega_n \otimes L^\vee)|_{X_1} \simeq \mathcal{O}_{X_1}$, une section non nulle de $(\omega_n \otimes L^\vee)|_{X_1}$ ne peut jamais se relever en une section de $\omega_n \otimes L^\vee|_{X_n}$, (sinon $\omega_n \otimes L^\vee|_{X_n}$ serait trivial). Donc le morphisme canonique

$$\mathrm{H}^0(X_{n-1}, L^\vee \otimes \omega_{n-1}) \xrightarrow{\simeq} \mathrm{H}^0(X_n, L^\vee \otimes \omega_n)$$

est bijectif. □

2.1.13 Soit $n \geq 2$ un entier, alors le noyau du morphisme surjectif $\mathrm{Pic}(X_n) \to \mathrm{Pic}(X_{n-1})$ est un $\mathcal{O}_K$-module de longueur finie annulé par p. Plus précisément, considérons l'immersion fermée $X_{n-1} \hookrightarrow X_n$, son idéal de définition est l'idéal cohérent $\mathfrak{N} := \mathcal{I}^{n-1}/\mathcal{I}^n \subset \mathcal{O}_{X_n}$. Le faisceau $\mathfrak{N}$ est

nilpotent (en fait, $\mathfrak{N}^2 = 0$), on a donc une suite exacte :

$$0 \to 1 + \mathfrak{N} \to \mathcal{O}^*_{X_n} \to \mathcal{O}^*_{X_{n-1}} \to 0.$$

Comme X_n est de dimension 1, la cohomologie $\mathrm{H}^2(X_n, 1+\mathfrak{N}) \simeq \mathrm{H}^2(X_n, \mathfrak{N})$ est nulle. D'où une suite exacte longue :

$$\mathrm{H}^0(X_{n-1}, \mathcal{O}^*_{X_{n-1}}) \xrightarrow{\partial^*} \mathrm{H}^1(X_n, 1+\mathfrak{N}) \longrightarrow \mathrm{Pic}(X_n) \xrightarrow{\alpha} \mathrm{Pic}(X_{n-1}) \longrightarrow 0\,. \quad (*)$$

D'autre part, à partir de la suite exacte suivante :

$$0 \to \mathfrak{N} \to \mathcal{O}_{X_n} \to \mathcal{O}_{X_{n-1}} \to 0,$$

on obtient une suite exacte longue (rappelons que $\mathrm{H}^2(X_n, \mathfrak{N}) = 0$) :

$$\mathrm{H}^0(X_{n-1}, \mathcal{O}_{X_{n-1}}) \xrightarrow{\partial} \mathrm{H}^1(X_n, \mathfrak{N}) \longrightarrow \mathrm{H}^1(X_n, \mathcal{O}_{X_n}) \xrightarrow{\alpha'} \mathrm{H}^1(X_{n-1}, \mathcal{O}_{X_{n-1}}) \longrightarrow 0\,.$$

Par ailleurs, comme $\mathfrak{N}^2 = 0$, le morphisme $x \mapsto 1 + x$ définit un isomorphisme de faisceaux abéliens

$$\beta : \mathfrak{N} \to 1 + \mathfrak{N}.$$

On a alors le résultat suivant :

Lemme 2.1.14 (Dévissage d'Oort, [9] § 6 proposition) *Gardons les notations ci-dessus, alors* $\beta(\mathrm{im}(\partial)) = \mathrm{im}(\partial^*)$.

2.1.15 Par conséquent, $\ker(\alpha) \simeq \mathrm{coker}(\partial)$ (comme faisceaux abéliens). Comme $\mathfrak{N} = \mathcal{I}^{n-1}/\mathcal{I}^n$ est un $\mathcal{O}_K$-module annulé par p, on en déduit que $\ker(\alpha) \simeq \mathrm{coker}(\partial)$ est un $\mathcal{O}_K$-module de longueur finie tué par p. Ceci étant, notons d' l'ordre du faisceau inversible $\mathcal{I}|_{X_1}$, alors pour $n \geq 2$, l'ordre de $\mathcal{I}|_{X_n}$ est de la forme $d'p^\ell$. Par ailleurs, puisque $\mathcal{I}|_{X_K} \simeq \mathcal{O}_{X_K}$, d'après le lemme 6.4.4 de [10], pour $m \in \mathbf{Z}$ assez grand, le faisceau inversible $\mathcal{I}|_{X_m}$ est d'ordre d. Donc, $d = d'p^r$ avec $r \geq 0$ un entier convenable. Pour $i = 0, \cdots, r$, soit m_i le plus petit entier n tel que $\mathcal{I}|_{X_n}$ soit d'ordre $d'p^i$. On pose aussi $\phi(n) = h^1(X, \mathcal{O}_{X_n})$ la longueur du $\mathcal{O}_K$-module $\mathrm{H}^1(X, \mathcal{O}_{X_n})$. D'après 2.1.12, on a $\phi(n) \geq \phi(n-1)$. De plus, $\phi(n) > \phi(n-1)$ si et seulement si $\omega_n \simeq \mathcal{O}_{X_n}$, auquel cas $\phi(n) = \phi(n-1)+1$. On déduit du lemme 2.1.14 le corollaire suivant :

Corollaire 2.1.16 *Soit $n \geq 2$ un entier. Alors ou bien $\phi(n) = \phi(n-1)$, auquel cas le morphisme $\alpha : \mathrm{Pic}(X_n) \to \mathrm{Pic}(X_{n-1})$ est un isomorphisme ; ou bien $\phi(n) = \phi(n-1) + 1$, auquel cas $\ker(\alpha)$ est un $\mathcal{O}_K$-module de longueur 1, et donc un k-espace vectoriel de dimension 1.*

Lemme 2.1.17 *Gardons les notations de 2.1.15. Alors :*

(i) Pour $i = 0, \cdots, r$, ω_{m_i} est trivial.

(ii) Il existe un entier $k_i > 0$ tel que $m_{i+1} = m_i + k_i d'p^i$.

(iii) Les entier $n \in [m_i, m_{i+1}]$, pour lesquels on a $\phi(n) = \phi(n-1) + 1$ sont ceux de la forme $n = m_i + hd'p^i$ avec h entier.

Démonstration. Soit $n > 1$ un entier tel que l'ordre de $\mathcal{I}|_{X_n}$ soit différent de celui de $\mathcal{I}_{X_{n-1}}$, alors le morphisme canonique $\mathrm{Pic}(X_n) \to \mathrm{Pic}(X_{n-1})$ n'est pas un isomorphisme. Par suite, $\phi(n) = \phi(n-1)+1$, et le morphisme $\mathrm{H}^1(X_n, \mathcal{O}_{X_n}) \to \mathrm{H}^1(X_{n-1}, \mathcal{O}_{X_{n-1}})$ a un noyau de longueur 1 (corollaire 2.1.16). Reprennons la suite exacte (2) de 2.1.11. Par dualité, le morphisme injectif $\mathrm{H}^0(X_{n-1}, \omega_{n-1}) \to \mathrm{H}^0(X_n, \omega_n)$ a donc un conoyau non trivial. D'où $\omega_n \simeq \mathcal{O}_{X_n}$ (lemme 2.1.12). Pour (ii), rappelons que $\omega_{m_i} = \omega_{X/S}(m_i D)|_{X_{m_i}}$, et d'après 2.1.6, il existe un entier n ($1 \leq n \leq d-1$) tel que $\omega_{X/S} \simeq \mathcal{I}^n$. Notons $\mathcal{L}_m := \omega_{X/S}(mD)$, alors $\mathcal{L}_m \simeq \mathcal{I}^{n-m}$. Or $\omega_{m_{i+1}} = \mathcal{L}_{m_{i+1}}|_{X_{m_{i+1}}} = \mathcal{I}^{n-m_{i+1}}|_{X_{m_{i+1}}} \simeq \mathcal{O}_{X_{m_{i+1}}}$. Par suite $\omega_{m_{i+1}}|_{X_{m_i}} = \mathcal{I}^{n-m_{i+1}}|_{X_{m_i}} \simeq \mathcal{O}_{X_{m_i}}$. Puisque $\omega_{m_i} = \mathcal{I}^{n-m_i}|_{X_{m_i}} \simeq \mathcal{O}_{X_{m_i}}$, il en résulte

que $\mathcal{I}^{m_i-m_{i+1}}|_{X_{m_i}} \simeq \mathcal{O}_{X_{m_i}}$, il existe donc un entier $k_i > 0$ tel que $m_{i+1} = m_i + k_i d' p^i$. Le même raisonnement nous donne aussi que, pour $m_{i+1} \geq m > m_i$ un entier tel que $\phi(m) > \phi(m-1)$, il existe un entier $0 < h \leq k_i$ vérifiant $n = m_i + hd'p^i$. Réciproquement, soit m un entier de la forme $m = m_i + hd'p^i$ (avec $0 < h \leq k_i$), prouvons que $\phi(m) > \phi(m-1)$. On peut supposer que $m < m_{i+1}$, donc $\mathcal{I}|_{X_m}$ est d'ordre $d'p^i$. Compte tenu de 2.1.12, il suffit de montrer que $\omega_m \simeq \mathcal{O}_{X_m}$. Or

$$\begin{aligned}
\omega_m &\simeq \mathcal{I}^{n-m}|_{X_m} = \mathcal{I}^{n-m_i-hd'p^i}|_{X_m} \\
&= \mathcal{I}^{n-m_{i+1}+m_{i+1}-n-hd'p^i}|_{X_{m_i}} \\
&\simeq \omega_{m_{i+1}}|_{X_m} \otimes \mathcal{I}^{(k_0-h)d'p^i}|_{X_m} \\
&\simeq \mathcal{O}_{X_m}
\end{aligned}$$

car $\omega_{m_i} \simeq \mathcal{O}_{X_{m_i}}$ et $\mathcal{I}|_{X_m}$ est d'ordre $d'p^i$. Ceci finit la démonstration. □

2.1.18 Définissons la fonction $\varphi : \mathbf{R}_{\geq 0} \to \mathbf{R}_{\geq 0}$ telle que son graphe soit l'enveloppe concave de l'ensemble $\{(n, \phi(n)) \mid n \in \mathbf{Z}_{\geq 0}\} \subset \mathbf{R}^2$. Alors φ est une fonction continue strictement croissante, et linéaire par morceaux. De plus, $\varphi(0) = 0$, et $\varphi(1) = 1$. Notons $\psi : \mathbf{R}_{\geq 0} \to \mathbf{R}_{\geq 0}$ son inverse. Donc, ψ est encore continue, et linéaire par morceaux. Pour tout entier $n \geq 1$, $\psi(n)$ est le plus petit entier $m \geq 1$ tel que $\phi(m) = n$. Si l'on note d_n l'ordre de faisceau inversible $\mathcal{I}|_{X_{\psi(n)}}$, alors $\psi(n+1) = \psi(n) + d_n$ (lemme 2.1.17), et pour tout $m \in \mathbf{Z}$ tel que $\psi(n) \leq m < \psi(n+1)$, le morphisme de groupes $\mathrm{Pic}(X_m) \to \mathrm{Pic}(X_{\psi(n)})$ est un isomorpshime (corollaire 2.1.16). Les fonctions $\varphi, \psi : \mathbf{Z}_{\geq 1} \to \mathbf{Z}_{\geq 1}$ nous donnent des fonctions de Herbrand, tout à fait similaires à celles de Serre dans sa description du corps de classes local [12].

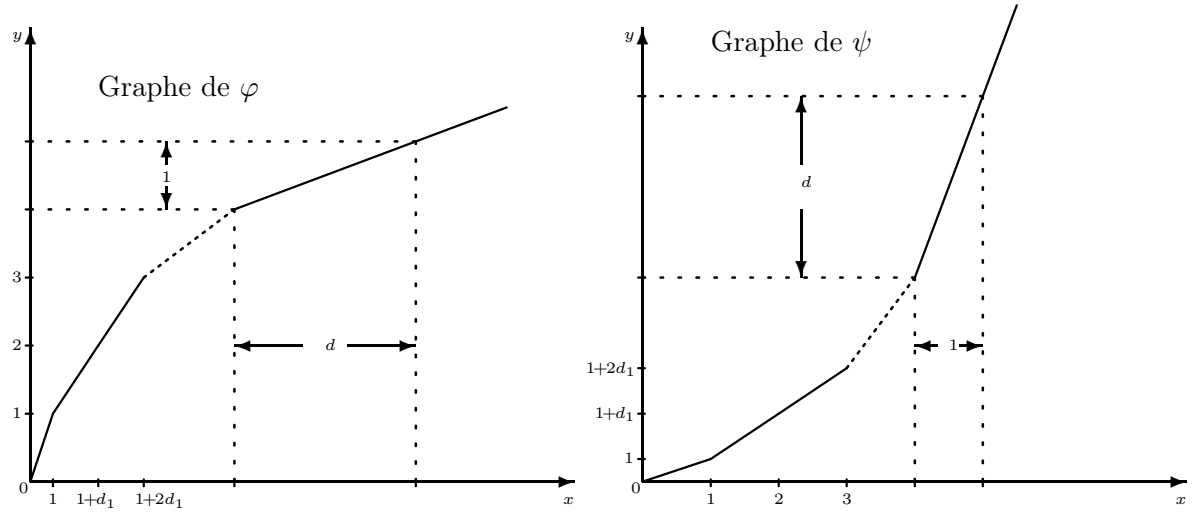

2.1.19 On termine ce numéro avec certains corollaires de 2.1.12, qui nous seront utiles dans la suite. Le premier corollaire résulte directement de 2.1.12 par dualité.

Corollaire 2.1.20 *Soit L un faisceau inversible sur X, de degré 0 sur chaque composante de X_1, et soit n un entier ≥ 2. Alors on a $h^1(X_{n-1}, L) \leq h^1(X_n, L) \leq h^1(X_{n-1}, L) + 1$. De plus, $h^1(X_n, L) = h^1(X_{n-1}, L) + 1$ si et seulement si $L|_{X_n} \simeq \omega_n$*

Corollaire 2.1.21 *Soit L un faisceau inversible sur X, de degré 0 sur chaque composante de X_1, et soit n un entier ≥ 1. Alors si la flèche $\mathrm{H}^1(X, L) \to \mathrm{H}^1(X_n, L)$ n'est pas bijective, il existe un entier $m > n$ tel que $L^\vee \otimes \omega_m$ soit trivial sur X_m.*

Démonstration. Notons que la flèche $\mathrm{H}^1(X,L) \to \mathrm{H}^1(X_n, L|_{X_n})$ est surjective, et que $\mathrm{H}^1(X,L) = \varprojlim_{m\geq n} \mathrm{H}^1(X_m, L|_{X_m})$. Pour que la flèche ne soit pas bijective, il faut et il suffit qu'il existe $m > n$ tel que $\mathrm{H}^1(X_m, L|_{X_m}) \to \mathrm{H}^1(X_{m-1}, L|_{X_{m-1}})$ ne soit pas injectif. Par dualité, ceci équivaut à dire que le morphisme injectif $\mathrm{H}^0(X_{m-1}, L^\vee \otimes \omega_{m-1}) \to \mathrm{H}^0(X_m, L^\vee \otimes \omega_m)$ ne soit pas surjectif. On a donc $L^\vee \otimes \omega_m \simeq \mathcal{O}_{X_m}$ (2.1), d'où le résultat. □

Corollaire 2.1.22 *Soit L un faisceau inversible sur X de degré 0 sur chaque composante de X_1, et $n \geq 1$ un entier. Supposons que le $\mathcal{O}_K$-module $\mathrm{H}^1(X,L)$ soit de longueur $\geq n$, alors $L|_{X_{\psi(n)}} \simeq \mathcal{I}^i|_{X_{\psi(n)}}$ avec i un entier convenable.*

Démonstration. Montrons par récurrence que, sous l'hypothèse du corollaire, pour tout n' ($1 \leq n' \leq n$), le $\mathcal{O}_K$-module $\mathrm{H}^1(X_{\psi(n'+1)-1}, L)$ est de longueur n'. Commençons par le cas où $n' = 1$. Regardons $\mathrm{H}^1(X_1, L)$. D'après 2.1.10, ou bien ce $\mathcal{O}_K$-module est de longueur 1, ce qui équivaut à dire que $L \simeq \mathcal{O}_{X_1}$, ou bien ce $\mathcal{O}_K$-module est nul. Dans ce cas, le morphisme naturel

$$\mathrm{H}^1(X,L) \to \mathrm{H}^1(X_1, L)$$

n'est pas bijectif. Il existe donc un entier $m > 1$, tel que $L|_{X_m} \simeq \omega_m$ (corollaire 2.1.21), par suite $L|_{X_1} \simeq \omega_m|_{X_1} \simeq \mathcal{I}|^i_{X_1}$ pour i un entier convenable (on peut supposer $0 \leq i < d_1$). De plus, pour m un entier tel que $1 \leq m \leq \psi(2) - 1$, le morphisme canonique $\mathrm{Pic}^\circ(X_m) \to \mathrm{Pic}^\circ(X_1)$ est bijectif (2.1.16), il en résulte que $L|_{X_m} \simeq \mathcal{I}|^i_{X_m}$. Or $\psi(2) = \psi(1) + d_1 = 1 + d_1$, et par définition , $\omega_m = \omega_{X/S}(mD)|_{X_m}$, il existe donc un unique entier m tel que $1 \leq m < \psi(2) - 1$, et que $L \simeq \omega_m$. Donc, en vertu de 2.1.20, on trouve que le $\mathcal{O}_K$-module $\mathrm{H}^1(X_{\psi(2)-1}, L)$ est de longueur 1. Supposons maintenant l'assertion vérifiée pour $1 \leq n' - 1 < n$. Sous l'hypothèse du lemme, le morphisme

$$\mathrm{H}^1(X,L) \to \mathrm{H}^1(X_{\psi(n')-1}, L)$$

n'est pas bijectif. Par suite, il existe un entier $m \geq \psi(n')$, tel que $L|_{X_m} \simeq \omega_m$, par conséquent, $L|_{X_{\psi(n')}} \simeq \mathcal{I}^i_{X_{\psi(n')}}$ pour $0 \leq i < d_{n'}$. Or $\psi(n'+1) = \psi(n') + d_{n'}$, on en déduit qu'il existe un unique entier m tel que $\psi(n') \leq m \leq \psi(n'+1) - 1$, et que $L|_{X_m} \simeq \omega_m$, en particulier, le $\mathcal{O}_K$-module $\mathrm{H}^1(X_{\psi(n'+1)-1}, L)$ est de longueur n'. Ceci finit la récurrence, et le lemme en résulte aussitôt. □

2.2 Etudes numériques.

2.2.1 Gardons les notations de 2.1.13. En particulier, $f' : X' \to S$ est le S-modèle propre régulier minimal de $X'_K = \mathrm{Pic}^\circ_{X_K/K}$. D'après le théorème 3.8 de [7], il existe un morphisme de $\mathcal{O}_K$-modules :

$$\tau_X : \mathrm{H}^1(X, \mathcal{O}_X) \to \mathrm{H}^1(X', \mathcal{O}_{X'})$$

qui prolonge l'isomorphisme naturel sur la fibre générique. De plus, son noyau est la torsion de $\mathrm{H}^1(X, \mathcal{O}_X)$, et les $\mathcal{O}_K$-modules $\ker(\tau_X)$ et $\mathrm{coker}(\tau_X)$ ont la même longueur. Par dualité, on obtient le morphisme suivant

$$\tau_X^\vee : \mathrm{H}^0(X', \omega_{X'/S}) \simeq \big(\mathrm{H}^1(X', \mathcal{O}_{X'})\big)^\vee \to \big(\mathrm{H}^1(X, \mathcal{O}_X)\big)^\vee \simeq \mathrm{H}^0(X, \omega_{X/S}).$$

Or il existe un isomorphisme canonique $f'_*\omega_{X'/S} \simeq \omega$ (2.1.7), d'où le morphisme canonique :

$$\tau_X^\vee : \omega \simeq \mathrm{H}^0(X', \omega_{X'/S}) \to \mathrm{H}^0(X, \omega_{X/S}) = f_*\omega_{X/S}.$$

qui est injectif, mais avec un conoyau non trivial en général.

2.2.2 On déduit d'abord de l'injectivité du morphisme $\tau_X^\vee$ que $\omega_{X/S}$ contient $f^*\omega$, donc il existe un entier $\chi \geq 0$, tel que $\omega_{X/S} = f^*\omega \otimes \mathcal{I}^{-\chi}$. Comme $f_*\omega_{X/C} = \pi^{-[\chi/d]}\omega$, on obtient que $\mathrm{coker}(\tau_X^\vee)$ a pour longueur $[\chi/d]$.

Proposition 2.2.3 *Gardons les notations ci-dessus. Alors*

$$\chi = d\left((1-1/d)\right) + k_0(1-1/p^r) + \cdots + k_{r-1}(1-1/p))\,, \tag{4}$$

où les k_i sont les entiers définis dans 2.1.17.

Démonstration. D'après 2.1.17, on a $\phi(m_r) = 1 + k_0 + \cdots k_{r-1}$, et à partir de $n = m_r$, $\phi(n) = \phi(n-1) + 1$ si et seulement si $n - m_r$ est un multiple de $d = d'p^r$. En particulier, si l'on pose $m_r = hd - a$ avec $0 \leq a < d$, on a $\phi(m_r) = \phi(hd)$. Posons $M = \mathrm{R}^1 f_* \mathcal{O}_X$, et $T \subset M$ son sous-faisceau de torsion. Notons $L = M/T$, qui est donc libre de rang 1 sur R. On a $\mathrm{R}^1 f_*\left(\mathcal{O}_X/\pi^n\mathcal{O}_X\right) \simeq \mathrm{R}^1 f_*(\mathcal{O}_{X_{nd}}) = M/\pi^n M$. Donc pour $n \geq h$, la longueur de $M/\pi^n M$ croît de 1 avec n. C'est dire que T est annulé par π^h, et que $\ell(M/\pi^h M) = \ell(T) + \ell(L/\pi^n L)$, d'où

$$\phi(hd) = \ell(T) + h. \tag{5}$$

Or $\omega_{m_r} = \mathcal{I}^{-(\chi+m_r)}|_{X_{m_r}}$ est le fibré inversible trivial, et comme $\mathcal{I}|_{X_{m_r}}$ est d'ordre d, il existe un entier α tel que $\chi + m_r = \alpha d$. D'où $\chi = (\alpha - h)d + a$, et donc on a $\ell(T) = [\chi/d] = \alpha - h$. On déduit (en utilisant l'égalité (5)) que $\ell(T) = [\chi/d] = \alpha - h = \phi(m_r) - h$. D'où $\alpha = \phi(m_r)$, et

$$\begin{aligned}\chi &= \phi(m_r)d - m_r \\ &= (1 + k_0 + \cdots + k_{r-1})d - (1 + k_0 d' + \cdots + k_{r-1}d'p^{r-1}) \\ &= d\left((1-1/d)\right) + k_0(1-1/p^r) + \cdots + k_{r-1}(1-1/p))\,.\end{aligned}$$

□

Corollaire 2.2.4 *Les conditions suivantes sont équivalentes :*

(i) X/S est cohomologiquement plat (en dimension 0).

(ii) $\chi < d$.

(iii) $m_r = 1$.

(iv) $\mathcal{I}|_{X_1}$ est d'ordre d.

De plus, si ces conditions sont réalisées, on a $\chi = d - 1$.

Démonstration. Le S-schéma X/S est cohomologiquement plat si et seulement si $T = 0$, *i.e.*, si et seulement si $\ell(T) = [\chi/d] = 0$, ce qui équivant à dire que $\chi < d$, d'où (i)⇔(ii). L'équivalence de (iii) et (iv) résulte de la définition de m_r. Par ailleurs, d'après l'égalité (4), $\chi < d$ si et seulement si $k_0 = \cdots = k_{r-1} = 0$, par suite si et seulement si $m_0 = \cdots = m_r = 1$. La dernière assertion résulte directement de l'égalité (4) et (iii). □

Remarque 2.2.5 Une fois que les conditions équivalentes ci-dessus soient réalisées, nous dirons que le torseur X_K est *modérément ramifié* ; sinon, on dira que X_K est *sauvagement ramifié*. Donc, en vertu de 2.1.14, si $(d, p) = 1$, le torseur X_K est automatiquement modéré. Mais la réciproque n'est pas vraie en général ([10] remarques 9.4.3 d)).

3. Filtrations et comparaisons

Pour tout $n \geq 1$ un entier, on a un morphisme canonique de groupes $\mathrm{Pic}^0(X) \to \mathrm{Pic}^\circ(X_n)$. On obtient ainsi une filtration sur les points à valeurs dans S du foncteur de Picard $\mathrm{Pic}^\circ_{X/S}(S) = \mathrm{Pic}^\circ(X)$. D'autre part, le groupe $J(S)$ des points à valeurs dans S de J est naturellement filtré par les puissances de π (*i.e.* la filtration donnée par le morphisme canonique de groupes $J(S) \to J(S_n)$). Le but de cette section est d'étudier le comportement de ces deux filtrations vis-à-vis du morphisme naturel de foncteurs $q : \mathrm{Pic}^\circ_{X/S} \to J$. Les résultats obtenus s'énoncent agréablement en terme de réalisations de Greenberg (3.3.14).

3.1 Structures pro-algébriques

3.1.1 Dans cet article, on appelle *un groupe pro-algébrique sur k* un pro-objet dans la catégorie des k-schémas en groupes de type fini. Donc, on n'adopte pas le point de vue de Serre ([13]) des groupes pro-algébriques, où l'on travaille à isogénie radicielle près.

3.1.2 Soit $n \geq 1$ un entier. Considérons $\mathrm{Gr}(\mathrm{Pic}^{\circ}_{X_n/S})$ la réalisation de Greenberg du foncteur de Picard $\mathrm{Pic}^{\circ}_{X_n/S}$ (1.3.2). Le morphisme naturel de foncteurs $\mathrm{Pic}^{\circ}_{X_{n+1}/S} \to \mathrm{Pic}^{\circ}_{X_n/S}$ induit un morphisme de k-schémas en groupes lisses $\alpha_n : \mathrm{Gr}(\mathrm{Pic}^{\circ}_{X_{n+1}/S}) \to \mathrm{Gr}(\mathrm{Pic}^{\circ}_{X_n/S})$. On obtient ainsi un k-groupe pro-algébrique (au sens de 3.1.1) $\{(\mathrm{Gr}(\mathrm{Pic}^{\circ}_{X_n/S}), \alpha_n)\}_{n\geq 1}$. De plus, d'après le lemme suivant, qui découle de [6] et de 2.1.16, on sait que ce k-groupe pro-algébrique est pro-lisse.

Lemme 3.1.3 *Gardons les notations précédentes. Alors, le morphisme α_n est un morphisme lisse et surjectif de k-groupes lisses connexes. De plus, ou bien α_n est un isomorphisme, auquel cas, on a $\phi(n+1) = \phi(n)$, ou bien $\ker(\alpha_n)$ est un k-vectoriel de dimension 1, auquel cas on a $\phi(n+1) = \phi(n) + 1$.*

3.1.4 D'autre part, à partir du S-schéma en groupes J/S, on peut construire un k-groupe pro-algébriques pro-lisse $\{(\mathrm{Gr}_n(J), \beta_n)\}_{n\geq 1}$ (1.3.1). Or pour chaque entier $n \geq 1$, le morphisme $q : \mathrm{Pic}^{\circ}_{X/S} \to J$ induit un morphisme de foncteurs $\mathrm{Pic}^{\circ}_{X/S} \times_S S_n \to J \times_S S_n$, d'où un morphisme de k-groupes algébriques

$$\mathrm{Gr}(\mathrm{Pic}^{\circ}_{X_{nd}/S}) \to \mathrm{Gr}_n(J).$$

En particulier, on obtient un morphisme de k-groupes pro-algébriques :

$$\{(\mathrm{Gr}(\mathrm{Pic}^{\circ}_{X_n/S}), \alpha_n)\}_{n\geq 1} \to \{(\mathrm{Gr}_n(J), \beta_n)\}_{n\geq 1}.$$

En fait, on a un résultat plus précise (3.3.14). Pour le démontrer, il nous faut d'abord un résultat de théorie des intersections.

3.2 Un résultat de théorie des intersections

Proposition 3.2.1 *Soient R un anneau de valuation discrète, Z/R un R-schéma lisse de type fini, à fibre spéciale $\underline{Z}$ irréductible, et notons ξ le point générique de de la fibre spéciale $\underline{Z}$ de Z.*[2] *Soit $\mathcal{M}$ un faisceau cohérent de torsion sur Z. Supposons que $\mathcal{M}$ est de longueur ℓ en ξ.*

(1) Soit $\alpha \in Z(S)$ une section de Z/S tel que $\alpha(S) \not\subseteq \mathrm{Supp}(\mathcal{M})$. Alors la longueur du R-module $\alpha^*\mathcal{M}$ est $\geq \ell$. En plus, il y a égalité si et seulement si le support de $\mathcal{M}$ en $\alpha(s)$ est contenu dans $\underline{Z}$, et si $\mathcal{M}$ est de Cohen-Macaulay en $\alpha(s)$.

(2) Supposons que le support schématique de $\mathcal{M}_K$ est un diviseur effectif non trivial $H_K \subset Z_K$, notons $H \subset Z$ son adhérence schématique dans Z (qui est un diviseur effectif relatif). Soit $\alpha : S \to Z$ une section de Z/S avec $\alpha(s) \in \underline{H}$, telle que $\ell(\alpha^*\mathcal{M}) = \ell + 1$. Alors (a) $\mathcal{M}$ est de Cohen-Macaulay en x ; (b) H est régulier en x ; (c) si l'on note ζ le point générique de la composante irréductible de H passant par $\alpha(s)$, alors $\mathcal{M}$ est de longueur 1 en ζ ; (d) H et $\alpha(S)$ se coupent tranversalement en $\alpha(s)$.

Pour la démontrer, on utilise le lemme suivant :

Lemme 3.2.2 *Soient $Z = \mathrm{Spec}(A)$ un schéma noethérien local régulier de dimension 2, $\mathcal{M}$ un $\mathcal{O}_Z$-module cohérent de torsion tel que $\mathrm{Supp}(\mathcal{M})$ soit de dimension 1. Soient $H_1, \cdots, H_n$ les composantes irréductibles réduites de $\mathrm{Supp}(M)$. Notons ξ_i le point générique de H_i, et ℓ_i la longueur de $\mathcal{M}_{\xi_i}$ sur $\mathcal{O}_{Z,\xi_i}$. Soit enfin $f \in A$ qui fait partie d'un système régulier de paramètres de A, tel que $Z_1 := V(f) \subset$*

2. D'une manière générale, pour Z un schéma sur un anneau de valuation discète, on désigne par $\underline{Z}$ sa fibre spéciale.

Z ne soit pas contenu dans $\mathrm{Supp}(M)$. *Alors* $\ell(\mathcal{M}/f\mathcal{M}) \geq \sum_{i=1}^{n} \ell_i$, *avec égalité si et seulement si les conditions suivantes soient remplies : (i) Pour chaque i, le schéma H_i est régulier, et coupe transversalement Z_1 dans Z ; (ii) Le $\mathcal{O}_Z$-module $\mathcal{M}$ est de Cohen-Macaulay.*

Démonstration. On raisonne par récurrence sur n. Commençons par le cas où $n = 1$. Notons $\xi = \xi_1$ le point générique de $\mathrm{Supp}(M)$, et $\ell = \ell_1$ la longueur de $\mathcal{M}$ en ξ. Donc, $\mathcal{M}_\xi$ possède une filtration par des sous-$\mathcal{O}_{Z,\xi}$-modules :

$$0 = \mathcal{M}_{\xi,0} \subset \mathcal{M}_{\xi,1} \subset \cdots \subset \mathcal{M}_{\xi,\ell} = \mathcal{M}_\xi,$$

où les quotients successifs sont isomorphes à $k(\xi)$. Définissons $\mathcal{M}_i$ comme l'image réciproque de $\mathcal{M}_{\xi,i}$ par le morphisme canonique $\mathcal{M} \to \mathcal{M}_\xi$, on obtient ainsi une filtration de $\mathcal{M}$:

$$0 = \mathcal{M}_0 \subset \mathcal{M}_1 \subset \cdots \subset \mathcal{M}_\ell = \mathcal{M},$$

et donc une filtration de $\mathcal{M}/f\mathcal{M}$ (remarquons que $C_i := \mathcal{M}_i/\mathcal{M}_{i-1}$ est non nul, et il est sans composantes immergées dès que $i \geq 2$) :

$$0 = \mathcal{M}_0/f\mathcal{M}_0 \subset \mathcal{M}_1/f\mathcal{M}_1 \subset \cdots \subset \mathcal{M}_\ell/f\mathcal{M}_\ell = \mathcal{M}/f\mathcal{M},$$

où les quotients successifs sont isomorphes à $C_i/fC_i \neq 0$. Par suite $\ell(\mathcal{M}/f\mathcal{M}) \geq \ell$. De plus, $\ell(\mathcal{M}/f\mathcal{M}) = \ell$, si et seulement si pour chaque i $(1 \leq i \leq \ell)$, le $\mathcal{O}_Z$-module C_i/fC_i est de longueur 1 sur $\mathcal{O}_Z/f\mathcal{O}_Z$. Donc, il suffit de prouver que cette dernière condition équivaut à dire que C_i est de Cohen-Macaulay, à support schématique régulier coupant transversalement $V(f) \hookrightarrow Z$. En effet, supposons $\mathrm{Ann}(C_i) = (g_i) \subset A$, et soit $c \in C_i$ tel que $c \notin fC_i$, alors le morphisme $\mathcal{O}_Z/g_i\mathcal{O}_Z \to C_i$ donné par $\overline{\lambda} \mapsto \lambda c$ (où $\lambda \in \mathcal{O}_Z$ est un relèvement de $\overline{\lambda}$ dans $\mathcal{O}_Z$) est un isomorphisme. Par suite, $\mathcal{O}_Z/(g_i, f)$ est de longueur 1 sur $\mathcal{O}_Z/f\mathcal{O}_Z$. Donc $\mathrm{Supp}(C_i) = \mathrm{Supp}(M)_{\mathrm{red}}$ est régulier, qui coupe transversalement $V(f) \hookrightarrow Z$. Ceci finit la preuve dans le cas où $n = 1$. Supposons maintenant l'assertion vérifiée pour $n - 1 \geq 1$. Soit $\mathcal{M}' \subset \mathcal{M}$ formé des $m \in \mathrm{M}$, tel que $\xi_i \notin \mathrm{Supp}(m)$ pour chaque $i \geq 2$, et définissons $\mathcal{M}''$ par la suite exacte suivante :

$$0 \to \mathcal{M}' \to \mathcal{M} \to \mathcal{M}'' \to 0.$$

Alors $\mathcal{M}''$ est sans composantes immergées, et est à support $\cup_{i=2}^{n} H_i$. On en déduit la suite exacte suivante (car $V(f) \nsubseteq \mathrm{Supp}(\mathcal{M})$) :

$$0 \to \mathcal{M}'/f\mathcal{M}' \to \mathcal{M}/\mathcal{M} \to \mathcal{M}''/f\mathcal{M}'' \to 0.$$

Donc, on a $\ell(\mathcal{M}/f\mathcal{M}) = \ell(\mathcal{M}'/f\mathcal{M}') + \ell(\mathcal{M}''/f\mathcal{M}'')$. Le lemme en résulte aussitôt. □

Démonstration de 3.2.1. Posons $x = \alpha(s)$. Il existe des éléments $f_1, \cdots, f_d$ de l'idéal maximal de $\mathcal{O}_{Z,x}$, qui engendrent l'idéal maximal de $\mathcal{O}_{\underline{Z},x}$, et tel que $\alpha(S) = V(f_1, \cdots, f_d) \hookrightarrow Z$. Quitte à remplacer Z par son localisé en $x := \alpha(s)$, on peut supposer Z local de dimension $d + 1$. Le cas où $d = 0$ est trivial, et le cas où $d = 1$ résulte directement du lemme 3.2.2. On suppose désormais $d \geq 2$, et on raisonne par récurrence sur d. Notons $Z_1 \hookrightarrow Z$ le sous-schéma fermé défini par l'équation $f_1 = 0$, $\mathcal{M}_1$ l'image réciproque de $\mathcal{M}$ sur Z_1. Alors Z_1 est un schéma régulier local de dimension $\dim(Z) - 1$. Notons ξ_1 le point générique de $\underline{Z_1}$. Le morphisme $\alpha : S \to Z$ se factorise à travers $Z_1 \hookrightarrow Z$, et on désigne par $\alpha_1 : S \to Z_1$ le morphisme ainsi obtenu. Pour démontrer la première assertion de (1), il suffit de vérifier que $\mathcal{M}_1$ est de longueur $\geq \ell$ en ξ_1. Pour cela, quitte à remplacer Z par son localisé en ξ_1, on est amené au cas où $d = 1$, d'où l'assertion (3.2.2). Supposons maintenant $\ell(\alpha^*\mathcal{M}) = \ell(\alpha_1^*\mathcal{M}_1) = \ell$. Donc, en vertu de l'hypothèse de récurrence, ceci équivaut à dire que $\mathcal{M}_1$ est de longueur ℓ en ξ_1, et que $\mathcal{M}_1$ est de Cohen-Macaulay, à support dans $\underline{Z_1}$. Autrement dit, $\mathcal{M}$ est de Cohen-Macaulay, et à support dans $\underline{Z}$. D'où (1). Pour démontrer (2), comme c'est une question locale pour la topologie étale sur S, on peut supposer S strictement local, de sorte que le corps résiduel $k(s)$ de S est un corps infini. Il en résulte que le corps résiduel $k(x)$ de Z en x est

aussi infini. Comme $k(x)$ est un corps infini, quitte à remplacer f_1 par $f_1 + \lambda f_2$ avec $\lambda \in \mathcal{O}^*_{Z,x}$ un élément convenable, on peut supposer $\underline{Z_1} \not\subseteq \underline{H}$, de sort que $\underline{H_1} = \underline{H} \cap \underline{Z_1} \hookrightarrow \underline{Z_1}$ est de codimension 1 dans $\underline{Z_1}$ (où $H_1 := H \cap Z_1$). Puisque $\ell(\alpha^*\mathcal{M}) = \ell(\alpha_1^*\mathcal{M}_1) = \ell + 1$, par l'hypothèse de récurrence, on a (i) $\underline{H_{1,\mathrm{red}}}$ est irréductible et régulier, de plus, $\alpha_1(S)$ et H_1 se coupent transversalement dans Z_1 ; (ii) $\mathcal{M}_1$ est de Cohen-Macaulay dans Z_1, et si l'on note $\zeta_1 \in H_1$ le point générique de H_1, alors $\mathcal{M}_1$ est de longueur 1 en ζ_1. Notons ensuite Z' le localisé de Z en ζ_1, et $\mathcal{M}'$ l'image réciproque de $\mathcal{M}$ par le morphisme canonique $Z' \to Z$, par suite $\mathcal{M}'/f_1\mathcal{M}'$ est de longueur 1 sur $\mathcal{O}_{Z'}/f_1\mathcal{O}_{Z'}$. Donc, le lemme 3.2.2 implique que H est régulier en ζ_1, coupant tranversalement Z_1 en ζ_1. De plus, $\mathcal{M}$ est de Cohen-Macaulay, à support contenu dans H en ζ_1. Par conséquent, H_1 est réduit. Compte tenu de (i) ci-dessus, on en déduit que H est irréductible et régulier, coupant tranversalement Z_1 dans Z. Il reste à vérifier que $\mathcal{M}$ est de Cohen-Macaulay. Par (ii), il suffit de prouver que $\mathcal{M}$ est sans composantes immergées. Notons $\mathcal{M}'$ le plus grand qotient sans composantes immergées de $\mathcal{M}$, et définissons $\mathcal{N}$ le sous-$\mathcal{O}_Z$-module par la suite exacte suivante :

$$0 \to \mathcal{N} \to \mathcal{M} \to \mathcal{M}' \to 0.$$

Alors le $\mathcal{O}_Z$-module $\mathcal{M}'$ satisfait les hypothèses de la proposition, donc, d'après ce qui précède, $\mathcal{M}'/f_1\mathcal{M}'$ est de Cohen-Macaulay, avec $\ell(\alpha^*\mathcal{M}') = \ell + 1$. On a ainsi une suite exacte

$$0 \to \alpha^*\mathcal{N} \to \alpha^*\mathcal{M} \to \alpha^*\mathcal{M}' \to 0.$$

D'où $\alpha^*\mathcal{N} = 0$ pour la raison de longueur. Par suite $\mathcal{N} = 0$. Ceci achève la preuve. □

3.3 Comparaison de structures pro-algébriques

3.3.1 Le but de cette sous-section est de démontrer que le morphisme canonique de foncteurs $q : \mathrm{Pic}^\circ_{X/S} \to J$ induit, pour chaque $n \geq 1$, un morphisme de k-groupes algébriques lisses $q_n : \mathrm{Gr}(\mathrm{Pic}^\circ_{X_{\psi(n)}/S}) \to \mathrm{Gr}_n(J)$, rendant commutatif le diagramme évident.

Soit $n \geq 1$ un entier. Il existe alors un morphisme de foncteurs $\mathrm{Pic}^\circ_{X_{nd}/S_n} \to J \times_S S_n$ (où $S_n = \mathrm{Spec}(\mathcal{O}_K/\pi^n)$), d'où un morphisme de k-schémas en groupes lisses

$$\mathrm{Gr}(\mathrm{Pic}^\circ_{X_{nd}/S}) \to \mathrm{Gr}_n(J) \tag{6}$$

Puisque $\psi(n) \leq nd$ (2.1.18), il y a un morphisme canonique de k-groupes algébriques lisses

$$\mathrm{Gr}(\mathrm{Pic}^\circ_{X_{nd}/S}) \to \mathrm{Gr}(\mathrm{Pic}^\circ_{X_{\psi(n)}/S}).$$

Donc, pour démontrer l'assertion ci-dessus, il suffit de vérifier que le morphisme (6) ci-dessus se factorise à travers le morphisme canonique $\mathrm{Gr}(\mathrm{Pic}^\circ_{X_{nd}/S}) \to \mathrm{Gr}(\mathrm{Pic}^\circ_{X_{\psi(n)}/S})$:

$$\begin{tikzcd}
\mathrm{Gr}(\mathrm{Pic}^\circ_{X_{nd}/S}) \arrow[r] \arrow[d] & \mathrm{Gr}_n(J) \\
\mathrm{Gr}(\mathrm{Pic}^\circ_{X_{\psi(n)}/S}) \arrow[ur, dotted] &
\end{tikzcd}$$

D'autre part, comme le morphisme de k-groupes algébriques $\mathrm{Gr}(\mathrm{Pic}^\circ_{X_{nd}/S}) \to \mathrm{Gr}(\mathrm{Pic}^\circ_{X_{\psi(n)}/S})$ est à noyau lisse (3.1.3), il suffit de le vérifier au niveau des k-points rationnels (rappelons que $k = \overline{k}$ est algébriquement clos). Donc, on est amené à montrer que le morphisme canonique (sur les points à valeurs dans S) $\mathrm{Pic}^\circ_{X/S}(S) = \mathrm{Pic}^\circ(X) \to J(S_n)$ se factorise à travers le morphisme canonique de groupes abstraits $\mathrm{Pic}^\circ(X) \to \mathrm{Pic}^\circ(X_{\psi(n)})$ (on notera encore par q_n le morphisme de groupes

abstraits ainsi obtenu) :

$$\begin{tikzcd} \mathrm{Pic}^\circ(X) \arrow[r] \arrow[d, "q"'] & \mathrm{Pic}^\circ(X_{\psi(n)}) \arrow[d, dotted, "q_n"] \\ J(S) \arrow[r] & J(S_n) \end{tikzcd} .$$

On va établir cette factorisation à l'aide du foncteur de Picard rigidifié (rappelé dans §1).

3.3.2 Dans la suite, on utilisera la notion de "dilatation" d'un schéma en groupes. Rappelons brièvement cette construction (3.2 de [1]). Soit R un anneau de valuation discrète de corps résiduel κ, avec $\pi \in R$ une uniformisante. Soient H/R un R-schéma en groupes lisse de type fini, $W \hookrightarrow \underline{H}$ un sous-schéma en groupes *lisse* sur κ. Notons $\mathcal{J}$ l'idéal de définition de $W \hookrightarrow H$. Posons $\mathrm{Bl}_W(H)$ l'éclatement de H le long du centre $W \hookrightarrow H$. Alors, par définition ([1] 3.2), *la dilatation de H le long du centre $W \hookrightarrow H$* est le plus grand ouvert $H' \subset \mathrm{Bl}_W(H)$ tel que l'idéal $\mathcal{J}\mathcal{O}_{H'} \subset \mathcal{O}_{H'}$ soit engendré par π. D'après [1] 3.2/3, H' est un R-schéma en groupes *lisse*, vérifiant la propriété universelle suivante ([1] 3.2/1) : soient Z/R un R-schéma *plat*, et $v : Z \to H$ un morphisme de R-schémas tel que sa fibre spéciale $\underline{v} : \underline{Z} \to \underline{H}$ se factorise à travers $W \hookrightarrow \underline{H}$, alors il y existe un unique morphisme $v' : Z \to H'$ rendant commutatif le diagramme évident.

3.3.3 On va utiliser les notations suivantes. Pour $n \leq m$ deux entiers $\in \mathbf{Z}_{\geq 0} \cup \{\infty\}$, notons $\mathrm{P}^{[n,m]}$ le noyau du morphisme canonique de foncteurs $\mathrm{Pic}^\circ_{X_m/S} \to \mathrm{Pic}^\circ_{X_n/S}$. Ici, par convention, on note $X_\infty = X$, et $\mathrm{Pic}^\circ_{X_0/S} = \{0\}$ (l'objet final de la catégorie des faisceaux abéliens fppf sur S). Pour faciliter les notations, posons

$$\mathrm{P}^{[n]} := \mathrm{P}^{[n,\infty]} = \ker(\mathrm{Pic}^\circ_{X/S} \to \mathrm{Pic}^\circ_{X_n/S}), \qquad \mathrm{P}_{[n]} := \mathrm{P}^{[0,n]} = \mathrm{Pic}^\circ_{X_n/S}.$$

Pour chaque entier $n \geq 1$, on définit par récurrence un S-schéma en groupes lisse $J^{[n]}$ comme la dilatation (3.3.2) de $J^{[n-1]}$ le long de l'élément neutre de $\underline{J^{[n-1]}}$ (ici, $J^{[0]} := J$). En vertu de la propriété universelle des dilatations (3.2/1 de [1]), pour chaque $n \in \mathbf{Z}_{\geq 0}$, on a la suite exacte suivante :

$$0 \to J^{[n]}(S) \to J(S) \to J(S_n) \to 0.$$

D'où un diagramme commutatif à lignes exactes :

$$\begin{tikzcd} 0 \arrow[r] & J^{[n]}(S) \arrow[r] \arrow[d] & J(S) \arrow[r] \arrow[d, equal] & J(S_n) \arrow[r] \arrow[d] & 0 \\ 0 \arrow[r] & J^{[n-1]}(S) \arrow[r] & J(S) \arrow[r] & J(S_{n-1}) \arrow[r] & 0 \end{tikzcd}$$

Par conséquent, le morphisme canonique de groupes abstraits

$$J^{[n-1]}(S_1) \simeq \mathrm{coker}(J^{[n]}(S) \to J^{[n-1]}(S)) \to \ker(J(S_n) \to J(S_{n-1})) \tag{7}$$

est un isomorphisme.

3.3.4 Fixons une fois pour toutes un rigidificateur $Y \hookrightarrow X$ pour le foncteur de Picard relatif $\mathrm{Pic}_{X/S}$ (1.1.3), et pour simplifier les notations, désignons par $G = (\mathrm{Pic}_{X/S}, Y)^\circ$ la composante neutre du foncteur de Picard relatif de X/S, rigidifié le long Y/S (1.1.5), et par J la composante neutre du S-modèle de Néron de $\mathrm{Pic}^\circ_{X_K/K}$. D'après la proposition 3.2 de [7], G est représentable par un S-schéma en groupes lisse séparé. Considérons le morphisme canonique de S-schémas en groupes $r : G = (\mathrm{Pic}_{X/S}, Y)^\circ \to \mathrm{Pic}^\circ_{X/S}$ (rappelé dans §1.1.7), qui est surjectif pour la topologie étale. Comme S est strictement local, le morphisme r induit une surjection sur les S-points (encore noté

par r) :

$$r : G(S) \to \mathrm{Pic}^\circ(X).$$

Notons $N = \overline{\ker(r_K)}$ l'adhérence schématique de $\ker(r_K) \subset G_K$ dans G. C'est un S-schéma en groupes plat de type fini, qui est aussi le noyau du morphisme canonique $\theta : G \to J$ (= composé de $r : G \to \mathrm{Pic}^\circ_{X/S}$ et de l'épimorphisme fppf $\mathrm{Pic}^\circ_{X/S} \to J$). On fixe aussi $\mathfrak{L}$ un faisceau de Poincaré (rigidifié) sur $X \times G$. Pour chaque $n \in \mathbf{Z}_{\geq 1}$, notons

$$r_n : G(S) \to \mathrm{Pic}^\circ(X) \to \mathrm{Pic}^\circ(X_n)$$

le morphisme canonique de groupes abstraits, qui est donné par $\varepsilon \in G(S) \mapsto \mathcal{L}_\varepsilon|_{X_n} \in \mathrm{Pic}^\circ(X_n)$, où $\mathcal{L}_\varepsilon := (\mathrm{id}_X \times \varepsilon)^*\mathfrak{L}$.

3.3.5 Notons

$$p_G : X \times_S G \to G$$

la projection de $X \times_S G$ sur le deuxième facteur. Considérons $\mathrm{R}p_{G,*}\mathfrak{L}$. C'est un complexe parfait d'amplitude parfaite contenue dans $[0, 1]$. Donc, localement pour la topologie Zariski de G, $\mathrm{R}p_{G,*}\mathcal{P}$ peut se représenter par un complexe

$$\cdots \longrightarrow \mathcal{F}^0 \xrightarrow{u} \mathcal{F}^1 \longrightarrow \cdots .$$

avec $\mathcal{F}^i$ $(i = 0, 1)$ des $\mathcal{O}_G$-modules localement libres de même rang. Or pour L un faisceau inversible de degré 0 sur X_K, $\mathrm{H}^1(X_K, L) \neq 0$ si et seulement si $L \simeq \mathcal{O}_{X_K}$. Par suite, $\det(u) \neq 0$, et le morphisme $u : \mathcal{F}^0 \to \mathcal{F}^1$ est injectif. Notons $\mathcal{M} := \mathrm{R}^1 p_{G,*}\mathfrak{L} = \mathrm{coker}(u)$. C'est donc un $\mathcal{O}_G$-module de torsion, qui possède une résolution de longueur 1 par des $\mathcal{O}_G$-modules localement libres. En particulier, le $\mathcal{O}_G$-module $\mathcal{M}$ est de Cohen-Macaulay, à support $\mathrm{Supp}(\mathcal{M}) \subset N \cup \underline{G}$ (comme ensemble).

3.3.6 Notons $\xi \in \underline{G}$ le point générique de $\underline{G}$, et ℓ la longueur de $\mathcal{O}_{G,\xi}$-module $\mathcal{M}_\xi$. Alors $\ell = 0$. Pour le montrer, on raisonne par l'absurde. Supposons $\ell \geq 1$. Soit $\varepsilon \in G(S)$ une section de G, et notons $\mathcal{L}_\varepsilon = (\mathrm{id}_X \times \varepsilon)^*\mathfrak{L}$. En vertu de 3.2.1, le $\mathcal{O}_K$-module $\mathrm{H}^1(X, \mathcal{L}_\varepsilon) \simeq \varepsilon^*\mathcal{M}$ est de longueur $\geq \ell \geq 1$. D'après 2.1.22, ceci équivaut à dire que $\mathcal{L}_\varepsilon|_{X_1} \simeq \mathcal{I}^i|_{X_1}$ avec i un entier convenable. Il en résulte que le morphisme surjectif de groupes

$$r_1 : G(S) \to \mathrm{Pic}^\circ(X_1), \qquad \varepsilon \mapsto \mathcal{L}_\varepsilon|_{X_1}$$

est à image finie. Mais $\mathcal{O}_K$ est à corps résiduel algébriquement clos, en particulier, $\mathrm{Pic}^\circ(X_1) \simeq \mathrm{Pic}^\circ_{X_1/k}(k)$ est un groupe *infini*, d'où une contradiction, et l'assertion en résulte aussitôt. On en déduit que le support (comme ensemble) du $\mathcal{O}_G$-module $\mathcal{M}$ est le fermé N de G.

3.3.7 Commençons par comparer le premier cran des filtrations. Puisque X_1/S est définissable sur son point fermé, son foncteur de Picard $\mathrm{Pic}^\circ_{X_1/S}$ l'est aussi. Donc, par adjonction, le morphisme de foncteurs $r_1 : G \to \mathrm{P}_{[1]}$ correspond à un morphisme de groupes algébriques sur le point fermé s de S :

$$\underline{r_1} : \underline{G} \to \underline{\mathrm{P}_{[1]}} = \mathrm{Pic}^\circ_{X_1/k},$$

rendant le diagramme suivant commutatif :

$$\begin{tikzcd}
G \arrow[r] \arrow[d] & \mathrm{Pic}^\circ_{X/S} \arrow[r] & \mathrm{P}_{[1]} = i_*\underline{\mathrm{P}_{[1]}} . \\
i_*\underline{G} \arrow[urr, dotted, "i_*\underline{r_1}"'] & &
\end{tikzcd}$$

Soit $x \in \underline{G}(k)$ un point fermé de G, et $\varepsilon \in G(S)$ un relèvement de x. Notons $\mathcal{L}_\varepsilon = (\mathrm{id}_X \times \varepsilon)^* \mathfrak{L}$. C'est un faisceau inversible rigidifié sur X. Alors $\varepsilon(s) \in N$ si et seulement si le $\mathcal{O}_K$-module $\mathrm{H}^1(X, \mathcal{L}_\varepsilon)$ est de longeur ≥ 1 (3.2.1). De plus, cette dernière condition, en vertu du lemme 2.1.22, revient à dire que $\mathcal{L}_\varepsilon|_{X_1} \simeq \mathcal{I}^i|_{X_1}$ avec i un entier convenable. Notons Z la fermeture schématique des $x \in G(k)$ qui admettent un relèvement ε tel que $\mathcal{L}_\varepsilon|_{X_1} \simeq \mathcal{O}_{X_1}$. Par continuité et connexité, Z est donc une réunion de composantes irréductibles de $\underline{N}_{\mathrm{red}}$. Si l'on note $G^{[1]} \to G$ la dilatation de G, de centre $Z \subset \underline{G}$. Par définition de Z, on a une suite exacte de k-schémas en groupes lisses :

$$0 \to Z \to \underline{G} \to \mathrm{Pic}^\circ_{X_1/k} \to 0.$$

D'où la suite exacte suivante, en vertu de la propriété universelle des dilatations (3.2/1, [1]) :

$$0 \to G^{[1]}(S) \to G(S) \to \mathrm{Pic}^\circ(X_1) \to 0. \tag{8}$$

3.3.8 Regardons ensuite le morphisme $\theta : G \to J$. Notons $G^{[1]'}$ la dilatation de G le long du centre $\underline{N}_{\mathrm{red}} = \underline{\ker(\theta)}_{\mathrm{red}} \hookrightarrow \underline{G}$. La propriété universelle des dilatations (3.2/1 de [1]) entraîne que la suite suivante est exacte

$$0 \to G^{[1]'}(S) \to G(S) \to J(S_1) \to 0. \tag{9}$$

Comme $Z \subset \underline{N}_{\mathrm{red}}$ est un sous-groupe ouvert, $G^{[1]}$ est un sous-groupe ouvert de $G^{[1]'}$. Compte tenu des suites exactes (8) (9), on obtient un morphisme de groupes $q_1 : \mathrm{Pic}^\circ(X_1) \to J(S_1)$, rendant le carré suivant commutatif :

$$\begin{tikzcd} \mathrm{Pic}^\circ(X) \arrow[r] \arrow[d, "q"'] & \mathrm{Pic}^\circ(X_1) \arrow[d, "q_1"] \\ J(S) \arrow[r] & J(S_1) \end{tikzcd}$$

Le morphisme de groupes abstraits q_1 est surjectif, de noyau engendré par $\mathcal{I}|_{X_1} \in \mathrm{Pic}(X_1)$ (2.1.22).

3.3.9 Passons au deuxième cran des filtrations. Notons $\mathcal{M}^{[1]}$ (resp. $\mathcal{M}^{[1]'}$) l'image réciproque de $\mathcal{M}$ sur $G^{[1]}$ (resp. sur $G^{[1]'}$) via le morphisme $G^{[1]} \to G$ (resp. via le morphisme $G^{[1]'} \to G$). Notons $N^{[1]}$ (resp. $N^{[1]'}$) l'adhérence schématique de $N_K \hookrightarrow G^{[1]}_K = G_K$ dans $G^{[1]}$ (resp. dans $G^{[1]'}$). Alors $\mathcal{M}^{[1]}$ (resp. $\mathcal{M}^{[1]'}$) est un faisceau cohérent de torsion à support dans $N^{[1]} \cup \underline{G^{[1]}}$ (resp. dans $N^{[1]'} \cup \underline{G^{[1]'}}$). De plus, d'après la propriété universelle des dilatations (3.2/1 de [1]), le morphisme composé $G^{[1]} \to G \to J$ (resp. $G^{[1]'} \to G \to J$) se factorise à travers $J^{[1]} \to J$. On désigne par $\theta^{[1]} : G^{[1]} \to J^{[1]}$ (resp. $\theta^{[1]'} : G^{[1]'} \to J^{[1]}$) le morphisme ainsi obtenu.

Lemme 3.3.10 *Gardons les notations ci-dessus.*

(i) Soit ξ_1' un point générique de $\underline{G^{[1]'}}$, alors le $\mathcal{O}_{G^{[1]'},\xi_1'}$ module $\mathcal{M}^{[1]'}_{\xi_1'}$ est de longeur 1.

(ii) Le schéma N est normal.

(iii) Le morphisme $\theta^{[1]}$ induit une surjection $G^{[1]}(S) \to J^{[1]}(S)$. En particulier, $\theta^{[1]} : G^{[1]} \to J^{[1]}$ est un morphisme fidèlement plat, et $\ker(\theta^{[1]}) = N^{[1]}$.

Démonstration. Remarquons d'abord que l'on a un diagramme commutatif à lignes exactes :

$$\begin{tikzcd} 0 \arrow[r] & G^{[1]}(S) \arrow[r] \arrow[d] & G(S) \arrow[r] \arrow[d] & \mathrm{Pic}^\circ(X_1) \arrow[r] \arrow[d, equal] & 0 \\ 0 \arrow[r] & \mathrm{P}^{[1,\psi(2)]}(S) \arrow[r] & \mathrm{P}_{[\psi(2)]}(S) \arrow[r] & \mathrm{P}_{[1]}(S) \arrow[r] & 0 \end{tikzcd}$$

On en déduit que le morphisme $G^{[1]}(S) \to \mathrm{P}^{[1,\psi(2)]}(S)$ est surjectif, car le morphisme $G(S) \to \mathrm{P}_{[\psi(2)]}(S)$ l'est. De plus, d'après 2.1.14, le groupe $\mathrm{P}^{[1,\psi(2)]}(S)$ est un $\mathcal{O}_K$-module de longueur 1. Donc

il est un groupe infini. Par suite, le morphisme composé $G^{[1]'}(S) \to G(S) \to \mathrm{P}_{[\psi(2)]}(S) = \mathrm{Pic}^\circ(X_{\psi(2)})$ est à image *infinie* (rappelons que $G^{[1]}$ est un sous-groupe ouvert de $G^{[1]'}$). Pour montrer (i), on raisonne par l'absurde. Notons ℓ_1 la longueur du $\mathcal{O}_{G^{[1]'},\xi_1'}$-module $\mathcal{M}^{[1]'}_{\xi_1'}$. Par définition de $G^{[1]'}$, on a $\ell_1 \geq 1$. Supposons $\ell_1 \geq 2$. Soit $\varepsilon \in \underline{G^{[1]'}}(S)$ une section de $G^{[1]'}$, avec $\mathcal{L}_\varepsilon$ le faisceau inversible rigidifié sur X associé, telle que $\varepsilon(s) \in \overline{\{\xi_1'\}} \subset \underline{G^{[1]'}}$. En vertu de la proposition 3.2.1, le $\mathcal{O}_K$-module $\varepsilon^*\mathcal{M}^{[1]'} \simeq \mathrm{H}^1(X, \mathcal{L}_\varepsilon)$ est de longueur $\geq \ell_1 \geq 2$. Donc, d'après 2.1.22, on a $\mathcal{L}_\varepsilon|_{X_{\psi(2)}} \simeq \mathcal{I}^i|_{X_{\psi(2)}}$ avec i un entier convenable. Comme $G^{[1]'}/S$ est un S-schéma en groupes lisse de type fini, on en déduit que le morphisme $G^{[1]'}(S) \to \mathrm{P}_{[\psi(2)]}(S) = \mathrm{Pic}^\circ(X_{\psi(2)})$ est à image finie. D'où une contradiction, et ceci achève la preuve de (i). L'assertion (ii) est un corollaire de (i), en vertu de 3.2.1 (2). Pour démontrer (iii), rappelons que le morphisme composé $G(S) \to \mathrm{Pic}^\circ(X) \to J(S)$ est surjectif (1.2.3). Puisque $G^{[1]'}$ est la dilatation de G le long de $\underline{N}_{\mathrm{red}}$, la surjectivité de la dernière flèche implique la surjectivité de $G^{[1]'}(S) \to J^{[1]}(S)$. Puisque $G^{[1]} \subset G^{[1]'}$ est un sous-groupe ouvert, à fibre spéciale non vide, le groupe abstrait $G^{[1]'}(S)/G^{[1]}(S)$ est un groupe fini. Par suite, en vertu de 9.2/6 de [1], $\theta^{[1]}$ induit aussi une surjection $G^{[1]}(S) \to J^{[1]}(S)$. En particulier, $\theta^{[1]}$ est un morphisme fidèlement plat, et on a $\ker(\theta^{[1]}) = N^{[1]}$. □

3.3.11 Considérons le morphisme composé

$$\beta_2 : G^{[1]}(S) \xrightarrow{r^{[1]}} \mathrm{P}^{[1]}(S) \longrightarrow \mathrm{P}^{[1,\psi(2)]}(S).$$

qui est surjectif. Puisque $\psi(2) \leq 2d$, le morphisme de foncteurs $G^{[1]} \to \mathrm{P}_{[\psi(2)]}$ définit un morphisme de k-schémas en groupes $\mathrm{Gr}_2(G^{[1]}) \to \mathrm{Gr}(\mathrm{P}_{[\psi(2)]})$. Montrons d'abord que ce dernier morphisme se factorise à travers le morphisme canonique de k-groupes algébriques $\mathrm{Gr}_2(G^{[1]}) \to \underline{G^{[1]}} = \mathrm{Gr}_1(G^{[1]})$. Puisque le morphisme $\mathrm{Gr}_2(G^{[1]}) \to \underline{G^{[1]}}$ est à noyau lisse sur k, il suffit de le vérifier au niveau des k-points rationnels. Soit $\varepsilon \in G^{[1]}(S)$, avec $\mathcal{L}_\varepsilon$ le faisceau inversible (rigidifié) sur X correspondant, tel que $\varepsilon(s)$ est l'élément neutre de $\underline{G^{[1]}}$. En vertu de 3.3.10 (1) et de 3.2.1, le $\mathcal{O}_K$-module $\varepsilon^*\mathcal{M}^{[1]} \simeq \mathrm{H}^1(X, \mathcal{L}_\varepsilon)$ est de longueur > 1. Donc, par 2.1.22, on a $\mathcal{L}_\varepsilon|_{X_{\psi(2)}} \simeq \mathcal{I}^i|_{X_{\psi(2)}}$ pour i un entier convenable. D'autre part, comme le noyau du morphisme (de k-groupes algébriques) $\mathrm{Gr}_2(G^{[1]}) \to \underline{G^{[1]}}$ est connexe (1.3.1), on a forcément $\mathcal{L}_\varepsilon|_{X_{\psi(2)}} \simeq \mathcal{O}_{X_{\psi(2)}}$. D'où l'assertion, et on désigne par $\underline{\beta_2} : \underline{G^{[1]}} \to \mathrm{Gr}(\mathrm{P}_{[\psi(2)]})$ le morphisme de k-groupes algébriques ainsi obtenu. Notons ensuite $Z := \ker(\underline{\beta_2})_{\mathrm{red}} \hookrightarrow \underline{G^{[1]}}$. Alors le même raisonnement implique que Z est une réunion de composantes connexes de $\underline{N^{[1]}}_{\mathrm{red}}$.

3.3.12 Définissons $G^{[2]}$ (resp. $G^{[2]'}$) comme la dilatation de $G^{[1]}$ le long du sous-groupe fermé lisse Z de $\underline{G^{[1]}}$ (resp. le long de $\underline{N^{[1]}}_{\mathrm{red}} \hookrightarrow \underline{G^{[1]}}$), et notons $\alpha^{[1]}$ le morphisme composé $G^{[2]} \to G^{[1]} \to G$. D'après 3.2/3 de [1], $G^{[2]}$ est un S-schéma en groupes lisse, et on a une suite exacte :

$$0 \to G^{[2]}(S) \to G^{[1]}(S) \to \mathrm{P}^{[1,\psi(2)]}(S) \to 0. \tag{10}$$

D'autre part, on a une suite exacte de groupes abstraits

$$0 \to G^{[2]'}(S) \to G^{[1]}(S) \to J^{[1]}(S_1) \to 0.$$

Comme $Z \subset \underline{N^{[1]}}$ est un sous-schéma en groupes ouvert, $G^{[2]} \subset G^{[2]'}$ est un sous-groupe ouvert. On obtient donc un morphisme $\mathrm{P}^{[1,\psi(2)]}(S) \to J^{[1]}(S_1)$ rendant le diagramme suivant commutatif :

$$\begin{tikzcd} G^{[1]}(S) \arrow[r] \arrow[dr] & \mathrm{P}^{[1,\psi(2)]}(S) \arrow[d] \\ & J^{[1]}(S_1) \end{tikzcd}$$

Comme tenu de l'isomorphisme (7), on obtient un morphisme canonique de groupes abstraits

$$\mathrm{P}^{[1,\psi(2)]}(S) \to \ker(J(S_2) \to J(S_1)).$$

En particulier, le morphisme canonique de groupes $\mathrm{Pic}^\circ(X) \to J(S_2)$ se factorise à travers $\mathrm{P}_{[\psi(2)]}(S) = \mathrm{Pic}^\circ(X_{\psi(2)})$:

$$\begin{tikzcd} \mathrm{Pic}^\circ(X) \arrow[r] \arrow[d, "q"'] & \mathrm{Pic}^\circ(X_{\psi(2)}) \arrow[d, "q_2"] \\ J(S) \arrow[r] & J(S_2) \end{tikzcd}.$$

De plus, d'après 2.1.22, le noyau du morphisme surjectif de groupes $q_2 : \mathrm{Pic}^\circ(X_{\psi(2)}) \to J(S_2)$ est engendré par $\mathcal{I}|_{X_{\psi(2)}} \in \mathrm{Pic}^\circ(X_{\psi(2)})$.

3.3.13 Le cas général se fait par récurrence sur n, en appliquant la même procédure (3.3.9-3.3.12). Finalement, on obtient le théorème suivant :

Théorème 3.3.14 *Gardons les notations ci-dessus. Alors, pour chaque $n \geq 1$, le morphisme de foncteurs $q : \mathrm{Pic}^\circ_{X/S} \to J$ induit un morphisme de k-schéma en groupes $q_n : \mathrm{Gr}(P_{\psi(n)}) \to \mathrm{Gr}_n(J)$, qui est une isogénie. De plus,* $\ker(q_n)(k) = \{\mathcal{I}^i|_{X_{\psi(n)}} : \ i \in \mathbf{Z}\ \} \subset \mathrm{Gr}(\mathrm{P}_{[\psi(n)]})(k) \simeq \mathrm{Pic}^\circ(X_{\psi(n)})$.

Remarque 3.3.15 Posons $G^{[0]'} = G$, $\theta^{[0]'} = \theta : G \to J$. Défnissons par récurrence, pour chaque entier $n \geq 0$, un S-schéma en groupes lisse $G^{[n]'}$, et un morphisme fidèlement plat de S-schémas en groupes $\theta^{[n]'} : G^{[n]'} \to J^{[n]}$ de la manière suivante : supposons $n \geq 1$ et que l'on a construit $G^{[n-1]'}$ et $\theta^{[n-1]'} : G^{[n-1]'} \to J^{[n-1]}$. Puisque $\theta^{[n-1]'}$ est fidèlement plat, son noyau $N^{[n-1]'} = \ker(\theta^{[n-1]'})$ est un S-schéma en groupes plat sur S. Puis on définit $G^{[n]'}$ comme la dilatation de $G^{[n-1]'}$ le long de $\underline{N^{[n-1]'}}_{\mathrm{red}} \subset \underline{G^{[n-1]'}}$. D'après 3.3.2, $G^{[n]'}$ est un S-schéma en groupes lisse. En vertu de la propriété universelle des dilatations ([1] 3.2/1), le morphisme $\theta^{[n-1]'}$ induit un morphisme de S-schéma en groupes $\theta^{[n]'} : G^{[n]'} \to J^{[n]}$, qui est aussi fidèlement plat (3.3.10 (iii)). Ceci finit la construction. Notons $N^{[n]'} = \ker(\theta^{[n]'})$. Alors, la preuve du théorème 3.3.14 (notamment 3.3.10 (ii)) montre aussi que le schéma $N^{[n]'}$ est *normal*. De plus, on peut vérifier que le schéma $N^{[n]'}$ est lisse sur S pour les entiers n assez grands.

Acknowledgements

Je suis très reconnaissant à M. Raynaud, qui m'a proposé ce sujet. Il m'a donné aussi ses notes non-publiées ([11]). Cet article a été préparé lors de mes séjours comme post-doc à l'Université Duisburg-Essen. Je tiens à remercier Hélène Esnault pour son hospitalité, et ses encouragements. Je voudrais aussi exprimer ma reconnaissance à mes collegues de Essen, pour les conversations intéressantes et pour leur aide dans la vie quotidienne pendant mes séjours en Allemagne. Enfin, j'aimerais remercier Wenqing, pour son soutien constant.

Références

1 Bosch, S., Lütkebohmert, W., Raynaud, M., *Néron models*, Ergebnisse der Math., 3. Folge, 21. Berlin, Springer 1990.

2 Greenberg, M. J., *Schemata over local rings*, Ann. Math., 73 (1961), p. 624-648.

3 Grothendieck, A., *Le groupe de Brauer III*, dans : Dix exposés sur la cohomologie des schémas. North Holland 1968

4 Grothendieck, A., *Éléments de géométrie algébrique (rédigés avec la collaboration de Jean Dieudonné : IV. Etude locales des schémas et des morphismes de schémas, Quatrième partie)*, Publications Mathématiques de l'I.H.É.S., 32 (1967), p. 5-361.

5 Katsura, T., Ueno, K., *On elliptic surfaces in characteristic p*, Math. Ann., 272 (1985), p. 291-330.

6 Lipman, J., *The Picard group of a scheme over an Artin ring*, Publications Mathématiques de l'I.H.É.S., 46 (1976), p. 15-86

7 Liu, Q., Lorenzini, D., Raynaud, M., *Néron models, Lie algebras, and reductions of curves of genus one*, Invent. Math., 157 (2004), p. 455-518.

8 Mumford, D., *Enriques' classification of surfaces in char. p : I*, in Global Analysis, Princeton Univ. Press, 1969.

9 Oort, F., *Sur le schéma de Picard*, Bulletin de la S.M.F., 90 (1962), p. 1-14.

10 Raynaud, M., *Spécialisation du foncteur de Picard*, Publications Mathématiques de l'I.H.É.S., 38 (1970), p. 27-76.

11 Raynaud, M., *Surfaces elliptiqes et quasi-elliptiques*, notes non publiées.

12 Serre, J.-P., *Corps locaux*, Paris, Hermann 1968.

13 Serre, J.-P., *Groupes pro-algébriques*, Publications Mathématiques de l'I.H.É.S., 7 (1960), p. 5-67.

Jilong Tong jilong.tong@uni-due.de
Universität Duisburg-Essen, Fachbereich Mathematik, Campus Essen 45117 Essen, Germany